

# **Aprendizagem Computacional - Trabalho Prático 3**

**João Tiago Márcia do Nascimento Fernandes - 2011162899**  
**Joaquim Pedro Bento Gonçalves Pratas Leitão - 2011150072**

14 de Novembro de 2014

# Índice

<b>1</b>	<b>Introdução</b>	<b>3</b>
<b>2</b>	<b>Aplicação Desenvolvida</b>	<b>4</b>
2.1	Graphical User Interface . . . . .	4
2.2	Redes Neurais Implementadas . . . . .	5
2.3	Treino das Redes . . . . .	6
2.4	Teste das Redes . . . . .	8
2.5	Implementação em Matlab . . . . .	8
2.5.1	run.m . . . . .	8
2.5.2	createNetwork.m . . . . .	8
2.5.3	prepareDataSets.m . . . . .	9
2.5.4	interpretResults.m . . . . .	9
2.5.5	interpretGroupResults.m . . . . .	10
2.6	Execução . . . . .	10
<b>3</b>	<b>Treino e Testes da Aplicação</b>	<b>12</b>
3.1	Testes Iniciais . . . . .	12
3.1.1	Descrição . . . . .	12
3.1.2	Análise dos Resultados Obtidos . . . . .	13
3.2	Testes Complementares . . . . .	15
3.2.1	Redes Seleccionadas . . . . .	15
3.3	Redução da Dimensionalidade . . . . .	16
<b>4</b>	<b>Conclusões</b>	<b>17</b>
<b>5</b>	<b>Anexos</b>	<b>18</b>

# 1 Introdução

O presente trabalho foca-se na previsão e identificação de crises epiléticas, com base em informação de sinais cerebrais, recolhidos através da realização de um *EEG* (ElectroEncefaloGrama).

Este exame recolhe dados relativos à atividade cerebral do paciente que o realiza, sendo possível extrair um conjunto de características que permite a identificação de momentos de ocorrência de crises epiléticas (denominadas situações *ictais*) e de momentos nos quais o paciente não apresenta qualquer problema (denominadas situações *não-ictais*).

O trabalho proposto visa a criação de uma aplicação em *Matlab*, que analise os dados recolhidos após a realização de um *EEG* a um paciente, e que identifique eventuais situações em que a atividade cerebral registada corresponde a uma situação de crise epilética.

Para proceder à identificação das situações *ictais* e *não-ictais*, a aplicação desenvolvida faz uso, na sua arquitetura interna, de redes neuronais, disponíveis na *Neural Networks Toolbox* do próprio *Matlab*.

Para avaliar o desempenho e performance da aplicação desenvolvida, procederemos à análise da sensibilidade e especificidade de cada rede neuronal implementada.

Estas métricas correspondem à percentagem de situações *ictais* verdadeiras detetadas (*sensibilidade*) e à percentagem de situações *não-ictais* falsas detetadas (*especificidade*), refletindo a performance da rede na classificação de um dado *data set*: Uma elevada *sensibilidade* implica uma boa deteção de situações *ictais*, enquanto que uma elevada *especificidade* implica uma boa deteção de casos *não-ictais*.

Ambas as métricas constituem requisitos necessários para a sua utilização em ambiente clínico, e podem ser definidas da seguinte forma:

$$Sensibilidade = \frac{PositivosVerdadeiros}{PositivosVerdadeiros + FalsosNegativos}$$

$$Especificidade = \frac{NegativosVerdadeiros}{NegativosVerdadeiros + FalsosPositivos}$$

No presente documento pretendemos apresentar de forma mais detalhada a aplicação desenvolvida, discutindo alguns detalhes da sua implementação e apresentando uma reflexão crítica sobre o seu desempenho e performance, nomeadamente da sua sensibilidade e especificidade.

## 2 Aplicação Desenvolvida

Tal como referido anteriormente, a aplicação desenvolvida visa analisar os dados referentes a um *EEG* de um paciente, identificando situações correspondentes a uma crise epiléptica.

Esta classificação pode ser realizada de duas formas distintas, que passamos a descrever.

Numa primeira abordagem, a que chamamos *Classificação Individual*, é atribuído a cada elemento do conjunto de dados de entrada da aplicação uma de duas *classes*, representadas por dois valores binários:

- Classe *não-ictal*, correspondente a um estado normal do paciente (ausência de crises) e representada pelos valores *1 0*
- Classe *ictal*, correspondente a uma situação de crise, e representada pelos valores *0 1*

Na segunda abordagem, a que chamamos *Classificação em Grupo*, o processo de classificação das entradas é realizado de forma semelhante, no entanto são considerados conjuntos de dados de entrada da aplicação, ao invés de cada elemento. Para este tipo de classificação podemos adotar duas métricas diferentes:

- Analisar o número de elementos consecutivos classificados individualmente como *ictais*, comparando-o com um dado limiar. Neste caso, se, por exemplo, existirem pelo menos 10 elementos consecutivos classificados como *ictais* então é detetada uma crise. Caso contrário nenhuma crise é detetada.
- Adotar um sistema de classificação em janela deslizante, analisando o número de elementos classificados individualmente como *ictais*, num dado universo restrito. Isto é, se pelo menos cinco dos últimos dez elementos foram classificados como *ictais* então todos os elementos nesse conjunto são classificados como *ictais*.

Optámos por adotar o segundo método de *Classificação em Grupo*, considerando uma abordagem por janelas, uma vez que o primeiro método, na nossa opinião, não torna o classificador resistente a variações no tempo. Isto é, caso a saída obtida seja igual à esperada, mas com todos os elementos deslocados, por exemplo, em uma unidade este método irá considerar um número de classificações erradas muito maior do que numa abordagem por janelas.

De seguida apresentamos em maior detalhe a aplicação desenvolvida, salientando alguns dos seus aspetos mais importantes e relevantes.

### 2.1 Graphical User Interface

Para facilitar a interação do utilizador com a aplicação, foi-nos proposta a criação de uma interface gráfica onde são solicitadas ao utilizador todas as informações relevantes para a execução da aplicação, separando por completo

a sua lógica interna com a especificação dos seus dados de entrada e outros parâmetros.

Assim, na interface gráfica desenvolvida são solicitadas ao utilizador várias informações que permitem a criação e treino das diferentes redes neuronais, nomeadamente:

- Tipo de rede neuronal a criar e treinar. Encontram-se disponíveis as redes *Radial Basis Function*, *Layer Recurrent Network*, *FeedForward*, *FeedForward Time Input Delay* e *Distributed Time Delay*.
- Função de Aprendizagem (ou Função de Treino) a utilizar na rede neuronal a criar (Se necessário). Encontram-se disponíveis as funções *trainscg*, *traingd* e *trainrp*.
- Função de Performance a utilizar no treino da rede neuronal (se necessário). Estão disponíveis as funções *mse* (mean squared error) e *sse* (sum squared error).
- Função de Activação dos neurónios da rede neuronal a implementar (se necessário). Estão disponíveis as funções *hardlim*, *purelin*, *logsig* e *tansig*.
- Tipo de Classificação a realizar (*Individual* ou *Em Grupo*)
- Ficheiro de dados a utilizar para treinar a rede criada
- Ficheiro de dados a utilizar para testar a rede criada
- Número de características dos pacientes a considerar
- Outros aspetos, como objetivo do treino (*Goal*), taxa de aprendizagem, etc

Para além disso, na interface desenvolvida, existe também uma secção onde são apresentados os resultados de cada teste realizado, nomeadamente a especificidade e sensibilidade da rede considera.

## 2.2 Redes Neuronais Implementadas

Como já referimos anteriormente, na nossa aplicação implementámos cinco redes neuronais distintas: *Radial Basis Function*, *Layer Recurrent Network*, *FeedForward*, *FeedForward Time Input Delay* e *Distributed Time Delay*.

Estas redes apresentam, naturalmente, características e propriedades distintas, sendo que umas se adequam mais ao trabalho que pretendemos realizar do que outras.

Por exemplo, considerando a rede *Layer Recurrent*, esta rede permite a introdução de atrasos em algumas características, o que lhe permite aprender a prever qualquer saída dinâmica, tendo por base entradas passadas. Este processo é possível se forem considerados neurónios e atrasos suficientes na rede.

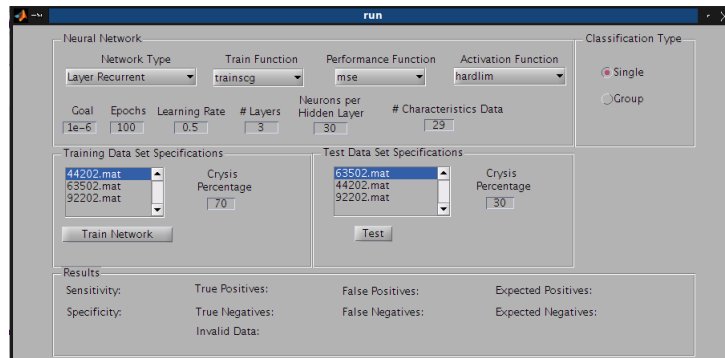


Figura 1: Interface Gráfica implementada

De facto, esta é uma propriedade que vai, de certa forma, ao encontro do funcionamento de um cérebro humano, que para além de ser um sistema dinâmico, possui também memória.

Na mesma linha de raciocínio, redes que suportam a introdução de atrasos em algumas das características que constituem os dados de entrada surgem, a uma primeira vista, como boas opções para simular o comportamento de um cérebro humano, realizando uma melhor identificação das situações correspondentes a crises epiléticas. Exemplos destas redes são a rede *Distributed Time Delay* e a *FeedForward Input Time Delay*.

Por seu turno, a rede *FeedForward* também se apresenta como uma solução a considerar, dado o facto de permitir uma boa implementação de qualquer função de entradas e saídas arbitrárias, desde que considerados neurónios suficientes na(s) camada(s) escondida(s).

Por fim, é também necessário referir a rede *Radial Basis Function*, bastante utilizada para aproximar funções e cujo treino passa nomeadamente pela adição de neurónios à camada escondida até que a rede atinja a performance (*goal*) pretendida. Assim, embora possa ser necessário adicionar um elevado número de neurónios à camada escondida, acreditamos ser possível ter uma boa performance com esta rede.

## 2.3 Treino das Redes

Um dos principais aspetos do trabalho realizado, prende-se com o treino das redes neuronais, pois é ele que determina a boa (ou má) performance das redes implementadas.

Para o presente trabalho foram-nos fornecidos dados relativos a três pacientes, constituídos por um conjunto de características extraídas para cada elemento, e pela respetiva classe definida para cada elemento.

Uma vez que as situações em que os pacientes estão a sofrer de uma crise epilética são consideravelmente menos do que as situações em que o paciente não apresenta nenhum problema, a simples seleção de todos os elementos de um

dos conjuntos fornecidos, ou de parte desses elementos, para realizar o treino da rede, sem qualquer cuidado na seleção dos elementos irá conduzir a dados de treino onde predominam situações *não-ictais*.

Nesses casos, iremos verificar uma especialização da rede na identificação de situações *não-ictais*, sem que faça uma classificação de casos *ictais* igualmente fiável.

De facto, tal situação não é desejável, uma vez que o nosso principal objetivo passa pela identificação de casos *ictais* com um grau de confiança mínimo, não a identificação de situações *não-ictais*.

Assim, para evitar que as redes por nós treinadas se especializem em situações *não-ictais*, na constituição dos casos de treino das diferentes redes neuronais, consideramos um dos ficheiros fornecidos, e para esse ficheiro selecionamos uma percentagem dos casos *ictais* (essa percentagem é solicitada ao utilizador através da interface gráfica) que vamos incluir no nosso *data set* de treino.

Em seguida, selecionamos um número igual de situações *não-ictais*, preservando a ordem dos diferentes casos nos dados originais. Como o número de situações *não-ictais* é bastante superior ao número de situações *ictais*, ao selecionarmos um número de situações *não-ictais* igual ao de situações *ictais* temos, necessariamente de não incluir a maior parte das situações *não-ictais*.

Para além disso, consideremos duas características observadas em dois momentos distintos do exame: Uma, observada num momento em que o paciente se encontra clinicamente estável (portanto numa situação *não-ictal*); E outra, observada instantes antes da ocorrência de uma crise.

Embora ambas as situações sejam classificadas como *não-ictais*, facilmente compreendemos que a segunda se encontra mais próxima de um estado *ictal*, do que a primeira.

#### **CORRIGIR ESTE PARAGRAFO**

Assim, para fazermos esta seleção, selecionamos aleatoriamente um conjunto de situações *não-ictais* do conjunto de dados originais, preservando sempre a ordem de ambas as situações *ictais* e *não-ictais*, como referido. Para ilustrar este ponto consideremos a seguinte situação:

Consideremos os elementos *A* e *B*, pertencentes ao *data set* original e de treino, em que *A* surge antes de *B* no *data set* original. Consideremos também que *A* corresponde a uma situação *ictal*, enquanto *B* corresponde a uma situação *não-ictal*. Então, no *data set* de treino, *A* surgirá também antes de *B*.

Para realizar o treino das diversas redes recorreremos ainda a diferentes funções de treino, disponíveis e implementadas pela *Neural Network Toolbox* do *Matlab*. As funções de treino disponíveis são a função *traingd*, *trainscg* e *trainrp*.

Com exceção da rede *RBF* (*Radial Basis Function*) implementada, o treino das restantes redes neuronais é realizado com recurso à função *train* da *Neural Network Toolbox* do *Matlab*. Uma vez que o treino das redes é uma operação complexa e exigente em termos computacionais, tendo em conta o tipo de redes criadas e a dimensão dos dados para proceder ao treino das redes, estas foram treinadas com aceleração gráfica, disponível nas versões mais recentes do *Matlab*. Para tal, basta adicionar os parâmetros '*useGPU*', '*yes*' aquando da chamada da função *train*: *train(network, P, T, 'useGPU', 'yes')*.

Para a rede *RBF*, o *Matlab* realiza o seu treino aquando da criação da rede, não sendo necessária a invocação da função *train*.

## 2.4 Teste das Redes

Uma vez completo o treino de uma rede neuronal, esta pode ser testada, de forma a verificar o seu bom, ou mau, funcionamento. Para isso, criámos um conjunto de dados de teste, baseados nos três *data sets* inicialmente fornecidos.

O processo de criação dos dados de teste é semelhante ao utilizado na constituição dos dados de treino das redes neuronais:

É solicitado ao utilizador que indique o ficheiro (de entre os três ficheiros fornecidos) de onde serão extraídos os dados de teste, e qual a percentagem de situações *ictais* a incluir. Em seguida, o ficheiro escolhido é analisado, e são considerados todos os dados nele presentes, a partir do final do ficheiro, até que o número de situações *ictais* incluídas seja igual à percentagem especificada.

Por outras palavras, se o utilizador especifica que pretende incluir 25% das situações *ictais* nos dados de treino, e se todas as situações *ictais* identificadas nesse *data set* se encontram nas posições 10 – 20, 40 – 50, 60 – 70 e 80 – 100, então o nosso *data set* de treino será constituído por todos os elementos do ficheiro, desde a posição 60 até ao final do ficheiro.

Uma vez que aquando da realização dos testes na rede esta já se encontra treinada, é irrelevante considerarmos nos *data sets* de teste situações *ictais* na mesma ordem de grandeza do que situações *não-ictais*, pois apenas estamos a executar a rede para um conjunto de dados, sem que este afete de forma alguma o funcionamento da rede em situações futuras.

## 2.5 Implementação em Matlab

A aplicação foi por nós desenvolvida e programa quase na sua totalidade, com a exceção do código relativo à interface gráfica. Esta foi desenhada por nós através da interface *guide* do *Matlab*, tendo o seu código sido gerado pelo *Matlab*.

De qualquer forma, toda a lógica interna da aplicação, comunicação da informação recolhida pela interface gráfica para outras estruturas, etc, foi por nós completamente desenvolvida.

### 2.5.1 run.m

Este ficheiro é o principal ficheiro da aplicação e que permite a sua execução. É nele que se encontra todo o código gerado, relativo à interface gráfica, mas também onde todas as principais funcionalidades da aplicação (criação das redes neuronais e respetivo treino e classificação dos dados de teste) são invocadas.

### 2.5.2 createNetwork.m

No ficheiro *createNetwork.m* encontramos a função *createNetwork*, responsável pela criação da rede neuronal que irá realizar a identificação das situações



*ictais* nos dados considerados e fornecidos à aplicação.

Esta rede é criada de acordo com algumas características pré-definidas, e outras escolhidas pelo utilizador, como é o caso das funções de ativação e de treino.

Após a sua criação, a rede será treinada com um conjunto de dados previamente criado de acordo com as especificações fornecidas pelo utilizador. Este treino não é realizado neste ficheiro, mas sim no principal ficheiro desenvolvido para a aplicação, *run.m*.

### 2.5.3 `prepareDataSets.m`

Neste ficheiro encontramos a função *prepareDataSets*, responsável pela criação dos *data sets* de treino e de teste, bem como dos respetivos resultados esperados (quer para os dados de treino, quer para os dados de teste).

Tal como referimos brevemente numa secção anterior do presente documento, as abordagens seguidas para a criação dos conjuntos de dados de treino e de teste têm pontos em comum, não sendo, no entanto, completamente iguais.

Uma vez que, nos ficheiros fornecidos, o número de situações *não-ictais* é bastante superior à quantidade de classificações *ictais*, se simplesmente considerarmos para o nosso *data set* de treino uma percentagem dos dados fornecidos, sem nos preocuparmos com a distribuição de situações *não-ictais* e *ictais*, então será altamente provável que as nossas redes sejam treinadas com mais casos *não-ictais* do que com *ictais*, resultando numa especialização da mesma na deteção de situações *não-ictais*.

Efetivamente, tal situação corresponde ao oposto do desejável, tendo em conta que o nosso objetivo principal passa pela identificação de casos *ictais*, com um grau de confiança mínimo.

Assim, para os dados de treino das redes neuronais criadas são consideradas situações *ictais* e *não-ictais* em igual número e de acordo com uma percentagem das situações *ictais* totais do ficheiro a considerar, definida pelo utilizador. Nesta seleção, tal como referido anteriormente, é preservada a posição relativa das situações *ictais* e *não-ictais* consideradas.

No que respeita aos dados de teste, também criados neste ficheiro, não é necessária qualquer preocupação em relação ao número de situações *ictais* e *não-ictais*, uma vez que pretendemos utilizar estes dados em redes já treinadas, pelo que a sua execução em nada alterará o comportamento futuro da rede.

Assim, os dados de treino são construídos partindo do final de um ficheiro de dados previamente selecionado, incluindo todos os dados (correspondentes a casos *ictais* e *não-ictais*) até que o número de situações *ictais* seja igual a um valor definido pelo utilizador.

### 2.5.4 `interpretResults.m`

É neste ficheiro que se encontra a função *interpretResults*, onde é realizado o processamento da classificação executada pela rede neuronal treinada, nas situações em que o tipo de classificação escolhido é a *Classificação Individual*.

Este processamento consiste simplesmente em percorrer os resultados obtidos na execução da rede neuronal para o caso de teste fornecido, comparando-os elemento a elemento com os resultados esperados para esse caso de teste. Assim, é registado o número de situações em que a classificação da rede se apresenta correta (distinguindo-se entre classificações de situações *ictais* e *não-ictais*), bem como situações em que a classificação da rede está incorreta (também distinguindo-se entre situações *ictais* e *não-ictais*).

Para além disso, são também registados o número de classificações positivas e negativas, isto é, de situações *ictais* e *não-ictais*, presentes nos dados fornecidos à rede, e que num cenário de classificação perfeita corresponderiam ao número de situações *ictais* e *não-ictais* registadas.

Uma vez que a classificação realizada pela rede nem sempre é clara, podem existir situações para as quais a rede não convergiu, não sendo possível distinguir de forma clara para uma dada situação (ou conjunto de situações) qual a classe atribuída pela rede. Essas situações são também registadas nesta função, sendo posteriormente reportadas como classificações inválidas.

### 2.5.5 `interpretGroupResults.m`

O ficheiro *interpretGroupResults.m* é responsável por uma importante parte da lógica subjacente à *Classificação em Grupo* realizada pela aplicação.

Neste ficheiro, a abordagem seguida é em tudo semelhante ao realizado no caso da *Classificação Individual*: Possuindo os resultados esperados para o teste realizado, basta percorrer os dados obtidos como resultado da classificação da rede neuronal, registando as situações em que os dois conjuntos de dados (dados obtidos e esperados) são idênticos (verdadeiros positivos e verdadeiros negativos), bem como situações onde as classificações diferem (falsos positivos e falsos negativos), ou então não são possíveis (classificações inválidas).

## 2.6 Execução

Para executar a aplicação o utilizador simplesmente necessita de executar o ficheiro *run.m*, sendo imediatamente exibida a interface gráfica desenvolvida.

A partir desse momento, o utilizador poderá escolher a rede a criar e a treinar, definindo algumas das suas propriedades e do seu treino, nomeadamente a escolha do ficheiro de dados a utilizar como fonte para a criação dos dados de treino e para posterior teste da rede treinada. É também possível seleccionar o tipo de classificação a realizar, tal como referido anteriormente: *Classificação Individual* ou *Classificação em Grupo*.

Uma vez definidos todos os parâmetros pretendidos pelo utilizador, basta clicar na opção *Train Network*, para proceder ao treino da rede, ou na opção *Test*, para proceder à execução da rede para os dados de teste especificados.

Queremos também salientar a possibilidade de seleção a opção *Test* sem, previamente, ter sido treinada nenhuma rede. Nesse caso, será criada e treinada uma rede de acordo com as especificações para esta definidas na interface. Caso

o utilizador não tenha definido nenhuma configuração, será utilizada uma por defeito.

Uma vez finda a execução da rede para os dados de treino seleccionados, os resultados dessa execução poderão ser visualizados no painel *Results*, estando disponível a *sensibilidade* e *especificidade* registadas, bem como os dados que permitiram calcular esses valores (verdadeiros positivos e negativos, e falsos positivos e negativos). É ainda apresentado o número de classificações inválidas registadas.

## 3 Treino e Testes da Aplicação

Após o desenvolvimento inicial da aplicação procedemos ao treino e teste das diferentes redes implementadas, a fim de aferir o seu correto, ou incorreto, funcionamento e da sua adequação às nossas previsões iniciais para a performance de cada rede.

### 3.1 Testes Iniciais

#### 3.1.1 Descrição

Numa fase inicial dos testes realizados procedemos ao treino de todas as redes neuronais implementadas, para uma vasta gama de combinações possíveis das propriedades das redes consideradas, e para os dois tipos de classificação disponíveis. Assim, inicialmente treinámos as redes com as seguintes propriedades:

- Dados de treino retirados do ficheiro *92202.mat*
- Percentagem de situações *ictais* consideradas nos casos de treino de 70%
- Objetivo do treino com o valor de  $10^{-6}$ , com exceção da rede *Radial Basis Function*, onde o valor considerado foi de  $10^{-2}$
- Número de épocas de treino máximo de 1000
- Número de *validation checks* necessários para terminar o treino igual a metade do número máximo de épocas de treino, ou seja 500
- Ritmo de aprendizagem de 0.2
- Número de Camadas Totais igual a 4 (incluindo a camada de saída)
- Número de neurónios por cada camada escondida (excluindo a camada de saída) igual a 30
- Funções de ativação consideradas: *hardlim*, *purelin*, *logsig* e *tansig*
- Funções de treino consideradas: *trainsecg*, *traingd* e *trainrp*
- Funções de performance consideradas: *sse* e *mse*

Antes de entrarmos em maior detalhe sobre os testes realizados gostaríamos de referir alguns pontos que consideramos importantes para uma posterior análise.

Em primeiro lugar, gostaríamos de chamar a atenção do leitor para o número de camadas consideradas nos testes realizados: Um dos pontos defendidos pela bibliografia deste tema refere-se ao facto de, numa rede neuronal com uma única camada escondida (excluindo a camada de entrada e a de saída), ser possível obter os mesmos resultados que numa rede neuronal equivalente, mas que faça uso de mais camadas.

Simplemente para obter resultados equivalentes é necessário adicionar um número suficiente de neurónios à camada escondida. Naturalmente que, ao se adicionar um elevado número de camadas e de neurónios por camada, o tempo de treino da rede aumenta consideravelmente.

Para além disso, analisando o número de camadas e de neurónios por camada considerados, este pode parecer demasiado excessivo. Efetivamente, numa fase posterior da nossa análise, iremos considerar algumas destas redes treinadas com um número de camadas e de neurónios por camada bastante mais reduzido, com intenção de compararmos os resultados obtidos em cada situação.

Com o objetivo de aferir a validade das redes implementadas, iniciamos os testes executando as diferentes redes para os dados do ficheiro *92202.mat* não utilizados para o treino da rede. Dado que estes dados são relativos ao mesmo paciente com o qual as redes foram treinadas será de prever que estes dados se aproximem mais dos dados de treino das redes, resultando numa melhor performance.

Posteriormente a este teste, foram também executados testes com os dados relativos a outros dois pacientes, considerando para efeitos de teste porções de 30%, 50% e 70% do número total de situações *ictais* presentes em cada um dos ficheiros.

Em anexo a este documento encontra-se uma lista detalhada dos resultados obtidos em cada teste realizado, que poderá ser consultada pelo leitor.

Na lista apresentada optámos por não incluir os resultados relativos aos testes para as redes treinadas com a função *sum squared error* como função de performance, uma vez que as redes treinadas com esta função obtiveram valores de performance registados pela *Neural Network Toolbox* muito superiores aos registados para as redes treinadas com a função de performance *mean squared error*<sup>1</sup>

### 3.1.2 Análise dos Resultados Obtidos

Analisando os resultados obtidos neste teste, existem alguns pontos que, na nossa opinião, se tornam evidentes e que gostaríamos de salientar, desde já.

Nos testes realizados com os dados provenientes do ficheiro *92202.mat* não utilizados no treino das redes, ficámos algo surpreendidos com os resultados obtidos.

De uma forma geral, todas as redes apresentam, nesta situação, valores de *especificidade* bastante elevados (excluindo algumas situações pontuais). No entanto, os valores de *sensibilidade* registados são bastante reduzidos e irregulares. Queremos também chamar a atenção para o facto de, nos testes realizados, a rede *Radial Basis Function* não ter realizado uma única classificação inválida, o que é algo que consideramos bastante positivo.

De facto, tal como referimos, seria de esperar que as redes realizassem boas classificações para casos próximos dos com que foram treinadas, como é o caso

---

<sup>1</sup>Neste caso, quanto maior for o valor registado para a performance de uma rede pior será o seu desempenho

quando consideramos dados do mesmo paciente. Embora essa situação se verifique, em algumas situações, para os valores de *especificidade*, os valores de *sensibilidade* e também o número de classificações inválidas revelam outra realidade.

Tais resultados sugerem, assim, a possível existência de um erro na implementação destas redes ou, numa situação mais improvável, a possibilidade de, acidentalmente, termos corrompido os dados no ficheiro que utilizámos para o treino da rede, antes ou depois desse mesmo treino.

No entanto, e tal como iremos constatar de seguida, os resultados obtidos quando sujeitamos as redes a outros dados de teste não foram tão negativos.

Numa primeira e superficial análise, seria plausível considerar que, à luz dos resultados obtidos para os restantes pacientes analisados, a maioria das redes implementadas apresenta uma boa capacidade de generalização. No entanto, os resultados que acabámos de apresentar não nos deixam tão confiantes.

Não obstante, passemos à análise da prestação das diferentes redes, quando executadas com dados diferentes dos com que foram treinadas.

Em primeiro lugar, queremos desde já destacar o facto de, também neste conjunto de testes, não ter sido registada nenhuma classificação inválida por parte da rede *Radial Basis Function*.

Para além disso, verificámos que os resultados obtidos para a *Classificação Individual* e *Classificação em Grupo* são bastante semelhantes. De facto, este é, de certa forma, um resultado pouco surpreendente, dado que a nossa abordagem para a *Classificação em Grupo* é bastante semelhante à abordagem para a *Classificação Individual*. Todos os passos desde a criação dos dados de teste até à sua execução na rede são comuns aos dois tipos de classificação. A única diferença reside na forma como estes são processados após a sua execução na rede neuronal.

Como os nossos dados possuem as situações *ictais* bastante concentradas em locais muito específicos dos *data sets*, e uma vez que optámos pela abordagem em janela para a *Classificação em Grupo*, esta semelhança entre os resultados obtidos nas duas abordagens não completamente inesperada.

Não obstante, gostaríamos também de salientar que, embora os resultados obtidos para os dois tipos de classificações sejam bastante semelhantes, registámos melhores resultados nos testes que relativos à *Classificação Individual*.

De entre todas as redes testadas, aquela que apresentou melhores e mais consistentes resultados em ambos os tipos de classificação foi, sem dúvida, a rede *Radial Basis Function*, apresentando em praticamente todos os testes elevados valores (iguais ou superiores a 0.7) de especificidade e sensibilidade.

Para além desta rede, na *Classificação Individual* registámos ainda bons resultados para a rede *Distributed Time Delay*, treinada com a função *trainscg*, tal como a rede *FeedForward Input Time Delay*, em algumas situações pontuais (nomeadamente utilizando como função de treino a função *trainscg* e funções de ativação as funções *logsig* e *tansig*).

As restantes redes e respetivas configurações não mencionadas, não obtiveram resultados tão positivos, destacando-se sobretudo uma clara irregularidade nos resultados registados: Foi bastante frequente a ocorrência de situações em

que uma dada rede registava um valor bastante elevado para a especificidade ou para a sensibilidade, mas o correspondente valor de sensibilidade ou de especificidade registado tomava valores muito reduzidos.

Surpreendentemente, nas redes que apresentam piores resultados, onde se incluem as redes que apresentam as oscilações de resultados que referimos, é bastante comum registarem-se percentagens de dados inválidos mais reduzidas do que em algumas redes com melhores resultados.

No que diz respeito à *Classificação em Grupo*, os resultados obtidos não são demasiado diferentes dos mencionados. Queremos destacar, à semelhança do que verificámos para a *Classificação Individual*, a boa performance da rede *Radial Basis Function*, e da rede *Layer Recurrent Network*, que desta feita relegou a rede *Distributed Time Delay*, treinada com a função *trainscg* para o posto de terceira melhor rede.

À semelhança do verificado na *Classificação Individual*, a rede *FeedForward Input Time Delay* registou bons resultados em alguns testes onde foi treinada com a função *trainscg*, tendo sido utilizadas as funções de ativação *logsig* e *tansig*.

Também se verificou uma grande oscilação nos resultados obtidos para algumas redes, registando-se situações em que, uma dada rede, foi registado um valor bastante elevado para a especificidade ou para a sensibilidade, mas o correspondente valor de sensibilidade ou de especificidade era muito mais reduzido.

Quanto ao número de classificações inválidas, registámos valores, em média, inferiores aos da *Classificação Individual*, existindo muitas redes que não apresentam qualquer classificação inválida.

Curiosamente, são as redes com maiores oscilações de valores de sensibilidade e especificidade que apresentam os maiores valores de classificações inválidas.

## 3.2 Testes Complementares

Tendo em conta os testes realizados para dados diferentes dos dados de treino, decidimos avaliar um pouco mais as redes que mostraram um melhor desempenho, realizando pequenas alterações às suas configurações, repetindo os treinos realizados e analisando os resultados.

### 3.2.1 Redes Seleccionadas

Assim, nesta segunda fase de testes, consideramos as seguintes redes neurais:

- Rede *Radial Basis Function*, com um *goal* de 0.01, um neurónio a adicionar entre *displays*
- Rede *Distributed Time Delay*, treinada com a função *trainscg*, e com as funções de ativação *logsig* e *tansig*
- Rede *FeedForward Input Time Delay*, treinada com a função *trainscg*, e com as funções de ativação *logsig* e *tansig*

Todas estas redes foram treinadas com apenas uma camada escondida e com 3, 7 e 15 neurónios por camada. Para além disso, com exceção da rede *Radial Basis Function*, foi utilizado um *goal* de  $10^{-6}$ , 1000 *epochs* e um limite máximo de *validation checks* de 500 para o treino das redes.

Para os testes realizados, as redes foram executadas considerando os ficheiros *44202.mat* e *63502.mat*, seleccionando 30, 50 e 70% das situações *ictais* registadas em cada um desses ficheiros.

De uma forma geral, os resultados da *Classificação Individual e em Grupo* não sofreram muitas alterações, face ao verificado para as respetivas redes nos testes anteriormente realizados:

A rede *Radial Basis Function* continuou a não registar dados inválidos, mesmo quando o seu número de neurónios foi reduzido a 3, o que, na nossa opinião, é um ponto positivo.

Verificaram-se também algumas variações nos valores de *sensibilidade* e *especificidade* registados, no entanto não existiu nenhum teste em particular onde os valores registados para estas métricas se afastassem por completo do observado nos testes anteriores.

Tendo em conta estes resultados, podemos constatar que as redes escolhidas para este segundo conjunto de testes realizam classificações com o mínimo de confiança, uma vez que mesmo quando constituídas por um reduzido número de neurónios, mantiveram valores de *sensibilidade* e *especificidade* elevados.

Isto leva-nos a acreditar que a sua estrutura, bem como as funções de treino e ativação consideradas conferem a estas redes uma boa capacidade para identificar situações *ictais* na atividade cerebral humana, adequando-se e permitindo simulando com alguma proximidade a atividade do cérebro humano, pelo menos no que respeita aos seus estados *ictais* e *não-ictais*.

### 3.3 Redução da Dimensionalidade

Explicar a ideia por trás disto (Muitas características com informação redundante -> Filtrando as que dão mais ganhos informativos ao sistema podemos ter uma aprendizagem ligeiramente pior, ou até igualmente melhor, necessitando de menos tempo para o treino da rede)

**FIXME: MUDAR INTERFACE GRAFICA PARA PERMITIR UTILIZAR REDIMENSIONALIZAÇÃO DOS DADOS**



## 4 Conclusões

Falar na generalização, uma vez que tivemos bons resultados (lol) em dados de pacientes que não o paciente de treino.

Referir os resultados menos positivos obtidos nos testes com os dados do paciente de treino.

## 5 Anexos

Nas páginas seguintes apresentamos os testes iniciais realizados para *Classificação Individual e em Grupo*,

## Single Classification

Network	Number Neurons	Network	Training Function	Performance Function	Training Goal	Activation Function	Input	Percentage Crisis (0-100)	Specificity	Sensibility	True Positives	True Negatives	False Positives	False Negatives	Invalid Data
Radial Basis Network	3	-	-	-	0.01	-	44202.mat	30	0.94193	0.88824	906	237550	14645	114	0
Radial Basis Network	5	-	-	-	0.01	-	44202.mat	30	0.94193	0.89314	911	237550	14645	109	0
Radial Basis Network	29	-	-	-	0.01	-	44202.mat	30	0.89547	0.94706	966	225830	26361	54	0
FeedForward	3	traingd	mse	1.00E-006	-	-	44202.mat	30	0.95198	0.85378	870	240070	12109	149	16
FeedForward	5	traingd	mse	1.00E-006	-	-	44202.mat	30	0.96111	0.85686	874	242380	9807	146	9
FeedForward	29	traingd	mse	1.00E-006	-	-	44202.mat	30	0.97473	0.83988	855	245700	6370	163	125
FeedForward	3	trainrp	mse	1.00E-006	-	-	44202.mat	30	0.99914	0.51875	498	251900	216	462	139
FeedForward	5	trainrp	mse	1.00E-006	-	-	44202.mat	30	0.99977	0.42217	358	252090	57	490	217
FeedForward	29	trainrp	mse	1.00E-006	-	-	44202.mat	30	0.99998	0.54793	503	251910	5	415	382
FeedForward	3	trainscg	mse	1.00E-006	-	-	44202.mat	30	0.99772	0.68431	698	251620	575	322	0
FeedForward	5	trainscg	mse	1.00E-006	-	-	44202.mat	30	0.99676	0.73084	744	251370	816	274	6
FeedForward	29	trainscg	mse	1.00E-006	-	-	44202.mat	30	0.99687	0.72206	730	251330	788	281	86
Layer Recurrent Network	3	traingd	mse	1.00E-006	-	-	44202.mat	30	0.95511	0.85083	867	240760	11315	152	116
Layer Recurrent Network	5	traingd	mse	1.00E-006	-	-	44202.mat	30	0.93698	0.8845	896	234860	15797	117	1540
Layer Recurrent Network	29	traingd	mse	1.00E-006	-	-	44202.mat	30	0.9728	0.84608	863	245180	6855	157	157
Layer Recurrent Network	3	trainrp	mse	1.00E-006	-	-	44202.mat	30	0.99994	0.41071	322	251880	15	462	529
Layer Recurrent Network	5	trainrp	mse	1.00E-006	-	-	44202.mat	30	0.99986	0.39205	296	252150	35	459	272
Layer Recurrent Network	29	trainrp	mse	1.00E-006	-	-	44202.mat	30	0.99998	0.5406	486	251940	5	413	372
Layer Recurrent Network	3	trainscg	mse	1.00E-006	-	-	44202.mat	30	0.99765	0.70784	722	251600	592	298	0
Layer Recurrent Network	5	trainscg	mse	1.00E-006	-	-	44202.mat	30	0.99561	0.72718	741	251070	1106	278	21
Layer Recurrent Network	29	trainscg	mse	1.00E-006	-	-	44202.mat	30	0.9955	0.7399	751	250840	1135	264	218
Distributed Time Delay	3	traingd	mse	1.00E-006	hardlim	-	44202.mat	30	0	1	1020	0	252190	0	0
Distributed Time Delay	5	traingd	mse	1.00E-006	hardlim	-	44202.mat	30	0	1	36	0	9	0	253170
Distributed Time Delay	29	traingd	mse	1.00E-006	hardlim	-	44202.mat	30	0.98112	0.68039	694	247420	4762	326	16
Distributed Time Delay	3	traingd	mse	1.00E-006	purelin	-	44202.mat	30	0.99385	0.67615	689	250630	1550	330	12
Distributed Time Delay	5	traingd	mse	1.00E-006	purelin	-	44202.mat	30	0.99881	0.59762	603	251870	299	406	33
Distributed Time Delay	29	traingd	mse	1.00E-006	purelin	-	44202.mat	30	0.99422	0.67158	683	250660	1458	334	82
Distributed Time Delay	3	traingd	mse	1.00E-006	logsig	-	44202.mat	30	0.94317	0.86176	879	237840	14332	141	22
Distributed Time Delay	5	traingd	mse	1.00E-006	logsig	-	44202.mat	30	0.95514	0.86471	882	240740	11307	138	148
Distributed Time Delay	29	traingd	mse	1.00E-006	logsig	-	44202.mat	30	0.96929	0.85588	873	244400	7744	147	53
Distributed Time Delay	3	traingd	mse	1.00E-006	tansig	-	44202.mat	30	0.96269	0.86261	879	242140	9385	140	667
Distributed Time Delay	5	traingd	mse	1.00E-006	tansig	-	44202.mat	30	0.95822	0.86982	882	239380	10438	132	2385
Distributed Time Delay	29	traingd	mse	1.00E-006	tansig	-	44202.mat	30	0.96338	0.8598	877	242920	9234	143	40
Distributed Time Delay	3	trainrp	mse	1.00E-006	hardlim	-	44202.mat	30	0	0	0	0	8	1	253200
Distributed Time Delay	5	trainrp	mse	1.00E-006	hardlim	-	44202.mat	30	NaN	1	11	0	0	0	253200
Distributed Time Delay	29	trainrp	mse	1.00E-006	hardlim	-	44202.mat	30	0.99809	0.44706	304	250380	478	376	1675
Distributed Time Delay	3	trainrp	mse	1.00E-006	purelin	-	44202.mat	30	0.99996	0.39394	325	252140	11	500	233
Distributed Time Delay	5	trainrp	mse	1.00E-006	purelin	-	44202.mat	30	0.99907	0.51813	500	251770	235	465	241
Distributed Time Delay	29	trainrp	mse	1.00E-006	purelin	-	44202.mat	30	0.99997	0.53799	439	251620	7	377	766
Distributed Time Delay	3	trainrp	mse	1.00E-006	logsig	-	44202.mat	30	0.99943	0.30317	201	10562	6	462	241980
Distributed Time Delay	5	trainrp	mse	1.00E-006	logsig	-	44202.mat	30	0.99952	0.55623	549	252030	122	438	75
Distributed Time Delay	29	trainrp	mse	1.00E-006	logsig	-	44202.mat	30	0.52055	1	180	38	35	0	252960
Distributed Time Delay	3	trainrp	mse	1.00E-006	tansig	-	44202.mat	30	0.99893	0.58614	592	251910	269	418	24
Distributed Time Delay	5	trainrp	mse	1.00E-006	tansig	-	44202.mat	30	0.99999	0.46778	363	252160	3	413	273
Distributed Time Delay	29	trainrp	mse	1.00E-006	tansig	-	44202.mat	30	0.99996	0.57051	534	252040	10	402	232
Distributed Time Delay	3	trainscg	mse	1.00E-006	hardlim	-	44202.mat	30	0.99897	0.5451	556	251930	261	464	0
Distributed Time Delay	5	trainscg	mse	1.00E-006	hardlim	-	44202.mat	30	0.99945	0.20588	210	252060	138	810	0
Distributed Time Delay	29	trainscg	mse	1.00E-006	hardlim	-	44202.mat	30	0.72802	0.7527	767	183600	68589	252	7
Distributed Time Delay	3	trainscg	mse	1.00E-006	purelin	-	44202.mat	30	0.99614	0.63645	646	251210	974	369	18
Distributed Time Delay	5	trainscg	mse	1.00E-006	purelin	-	44202.mat	30	0.99551	0.6297	636	251010	1133	374	58
Distributed Time Delay	29	trainscg	mse	1.00E-006	purelin	-	44202.mat	30	0.99557	0.64653	642	250380	1115	351	730
Distributed Time Delay	3	trainscg	mse	1.00E-006	logsig	-	44202.mat	30	0.99824	0.72397	737	251700	444	281	48

## Single Classification

Distributed Time Delay	5	trainscg	mse	1.00E-006	logsig	44202.mat	30	0.99816	0.72647	741	251690	464	279	37
Distributed Time Delay	29	trainscg	mse	1.00E-006	logsig	44202.mat	30	0.99718	0.74238	755	251410	711	262	74
Distributed Time Delay	3	trainscg	mse	1.00E-006	tansig	44202.mat	30	0.99696	0.69087	704	251420	767	315	9
Distributed Time Delay	5	trainscg	mse	1.00E-006	tansig	44202.mat	30	0.99614	0.7419	756	251170	974	263	47
Distributed Time Delay	29	trainscg	mse	1.00E-006	tansig	44202.mat	30	0.99692	0.73294	741	251260	776	270	171
FF Input Time Delay	3	traingd	mse	1.00E-006	hardlim	44202.mat	30	0	1	1020	0	252190	0	0
FF Input Time Delay	5	traingd	mse	1.00E-006	hardlim	44202.mat	30	0	1	1020	0	252190	0	1
FF Input Time Delay	29	traingd	mse	1.00E-006	hardlim	44202.mat	30	0	1	1020	0	252190	0	0
FF Input Time Delay	3	traingd	mse	1.00E-006	purelin	44202.mat	30	0.99335	0.68922	703	250510	1677	317	2
FF Input Time Delay	5	traingd	mse	1.00E-006	purelin	44202.mat	30	0.99345	0.68235	696	250520	1652	324	20
FF Input Time Delay	29	traingd	mse	1.00E-006	purelin	44202.mat	30	0.99314	0.68302	696	250450	1730	323	18
FF Input Time Delay	3	traingd	mse	1.00E-006	logsig	44202.mat	30	0.94188	0.86922	884	236540	14597	133	1063
FF Input Time Delay	5	traingd	mse	1.00E-006	logsig	44202.mat	30	0.9563	0.86275	880	241110	11018	140	64
FF Input Time Delay	29	traingd	mse	1.00E-006	logsig	44202.mat	30	0.97929	0.84283	858	246890	5222	160	80
FF Input Time Delay	3	traingd	mse	1.00E-006	tansig	44202.mat	30	0.96274	0.86176	879	242120	9371	141	697
FF Input Time Delay	5	traingd	mse	1.00E-006	tansig	44202.mat	30	0.94861	0.86654	883	239200	12958	136	41
FF Input Time Delay	29	traingd	mse	1.00E-006	tansig	44202.mat	30	0.94982	0.87328	889	238370	12594	129	1231
FF Input Time Delay	3	trainrp	mse	1.00E-006	hardlim	44202.mat	30	0	1	1020	0	252190	0	0
FF Input Time Delay	5	trainrp	mse	1.00E-006	hardlim	44202.mat	30	1	0	0	252190	0	1020	1
FF Input Time Delay	29	trainrp	mse	1.00E-006	hardlim	44202.mat	30	1	NaN	0	1	0	0	253210
FF Input Time Delay	3	trainrp	mse	1.00E-006	purelin	44202.mat	30	0.99968	0.57171	582	252100	80	436	16
FF Input Time Delay	5	trainrp	mse	1.00E-006	purelin	44202.mat	30	0.99958	0.58457	591	252040	106	420	51
FF Input Time Delay	29	trainrp	mse	1.00E-006	purelin	44202.mat	30	0.99927	0.60555	611	251950	185	398	65
FF Input Time Delay	3	trainrp	mse	1.00E-006	logsig	44202.mat	30	0	1	1010	0	252180	0	19
FF Input Time Delay	5	trainrp	mse	1.00E-006	logsig	44202.mat	30	0.99995	0.43522	430	252170	12	558	44
FF Input Time Delay	29	trainrp	mse	1.00E-006	logsig	44202.mat	30	0	1	811	0	1130	0	251270
FF Input Time Delay	3	trainrp	mse	1.00E-006	tansig	44202.mat	30	0	1	1020	0	252190	0	7
FF Input Time Delay	5	trainrp	mse	1.00E-006	tansig	44202.mat	30	0.99938	0.62554	583	251860	155	349	266
FF Input Time Delay	29	trainrp	mse	1.00E-006	tansig	44202.mat	30	0.99982	0.5598	571	252140	45	449	5
FF Input Time Delay	3	trainscg	mse	1.00E-006	hardlim	44202.mat	30	0	1	1020	0	252190	0	0
FF Input Time Delay	5	trainscg	mse	1.00E-006	hardlim	44202.mat	30	1	0	0	252190	0	1020	1
FF Input Time Delay	29	trainscg	mse	1.00E-006	hardlim	44202.mat	30	0	1	1020	0	252190	0	1
FF Input Time Delay	3	trainscg	mse	1.00E-006	purelin	44202.mat	30	0.99288	0.6624	673	250280	1796	343	118
FF Input Time Delay	5	trainscg	mse	1.00E-006	purelin	44202.mat	30	0.99611	0.62832	639	251200	981	378	17
FF Input Time Delay	29	trainscg	mse	1.00E-006	purelin	44202.mat	30	0.99607	0.63556	647	251190	990	371	16
FF Input Time Delay	3	trainscg	mse	1.00E-006	logsig	44202.mat	30	0.99622	0.71807	731	251210	952	287	29
FF Input Time Delay	5	trainscg	mse	1.00E-006	logsig	44202.mat	30	0.99675	0.70392	718	251330	820	302	45
FF Input Time Delay	29	trainscg	mse	1.00E-006	logsig	44202.mat	30	0.99753	0.73111	745	251550	623	274	19
FF Input Time Delay	3	trainscg	mse	1.00E-006	tansig	44202.mat	30	0.99499	0.69676	710	250880	1264	309	52
FF Input Time Delay	5	trainscg	mse	1.00E-006	tansig	44202.mat	30	0.99792	0.71148	725	251620	525	294	51
FF Input Time Delay	29	trainscg	mse	1.00E-006	tansig	44202.mat	30	0.99674	0.71499	725	251330	823	289	46
Radial Basis Network	3	-	-	0.01	-	44202.mat	50	0.87707	0.8789	1379	475900	66704	190	0
Radial Basis Network	5	-	-	0.01	-	44202.mat	50	0.87156	0.87954	1380	472910	69691	189	0
Radial Basis Network	29	-	-	0.01	-	44202.mat	50	0.8097	0.92352	1449	439350	103260	120	0
FeedForward	3	traingd	mse	1.00E-006	-	44202.mat	50	0.76955	0.80242	1259	417190	124930	310	488
FeedForward	5	traingd	mse	1.00E-006	-	44202.mat	50	0.73427	0.78458	1231	398380	144170	338	51
FeedForward	29	traingd	mse	1.00E-006	-	44202.mat	50	0.85513	0.78736	1233	463680	78553	333	373
FeedForward	3	trainrp	mse	1.00E-006	-	44202.mat	50	0.99216	0.48707	358	386040	3052	377	154350
FeedForward	5	trainrp	mse	1.00E-006	-	44202.mat	50	0.99384	0.48638	625	535720	3320	660	3843
FeedForward	29	trainrp	mse	1.00E-006	-	44202.mat	50	0.99076	0.62352	896	536490	5002	541	1239
FeedForward	3	trainscg	mse	1.00E-006	-	44202.mat	50	0.96158	0.75462	1184	521710	20844	385	52
FeedForward	5	trainscg	mse	1.00E-006	-	44202.mat	50	0.95471	0.74298	1165	517980	24570	403	56
FeedForward	29	trainscg	mse	1.00E-006	-	44202.mat	50	0.94217	0.73529	1100	510080	31308	396	1286

## Single Classification

Layer Recurrent Network	3	traingd	mse	1.00E-006	-	44202.mat	50	0.82324	0.79795	1248	444620	95465	316	2519
Layer Recurrent Network	5	traingd	mse	1.00E-006	-	44202.mat	50	0.72391	0.78266	1228	392180	149570	341	849
Layer Recurrent Network	29	traingd	mse	1.00E-006	-	44202.mat	50	0.8803	0.75783	1186	466340	75725	379	544
Layer Recurrent Network	3	trainrp	mse	1.00E-006	-	44202.mat	50	0.9968	0.46944	722	540610	1737	816	286
Layer Recurrent Network	5	trainrp	mse	1.00E-006	-	44202.mat	50	0.98867	0.44917	433	513760	5889	531	23557
Layer Recurrent Network	29	trainrp	mse	1.00E-006	-	44202.mat	50	0.99253	0.61208	912	536790	4042	578	1850
Layer Recurrent Network	3	trainscg	mse	1.00E-006	-	44202.mat	50	0.91632	0.80115	1257	497170	45402	312	31
Layer Recurrent Network	5	trainscg	mse	1.00E-006	-	44202.mat	50	0.95957	0.76148	1194	520600	21932	374	68
Layer Recurrent Network	29	trainscg	mse	1.00E-006	-	44202.mat	50	0.94428	0.77991	1219	511770	30200	344	641
Distributed Time Delay	3	traingd	mse	1.00E-006	hardlim	44202.mat	50	0.98478	0.3276	514	534340	8261	1055	4
Distributed Time Delay	5	traingd	mse	1.00E-006	hardlim	44202.mat	50	0.99452	0.52934	830	539590	2975	738	41
Distributed Time Delay	29	traingd	mse	1.00E-006	hardlim	44202.mat	50	0.98904	0.45252	710	536620	5949	859	29
Distributed Time Delay	3	traingd	mse	1.00E-006	purelin	44202.mat	50	0.99024	0.63892	998	537050	5293	564	270
Distributed Time Delay	5	traingd	mse	1.00E-006	purelin	44202.mat	50	0.99108	0.63771	991	536930	4833	563	849
Distributed Time Delay	29	traingd	mse	1.00E-006	purelin	44202.mat	50	0.98734	0.64199	1006	535640	6866	561	95
Distributed Time Delay	3	traingd	mse	1.00E-006	logsig	44202.mat	50	0.68754	0.80051	1256	372950	169490	313	157
Distributed Time Delay	5	traingd	mse	1.00E-006	logsig	44202.mat	50	0.76235	0.80115	1257	412160	128480	312	1962
Distributed Time Delay	29	traingd	mse	1.00E-006	logsig	44202.mat	50	0.86451	0.81749	1281	467990	73349	286	1261
Distributed Time Delay	3	traingd	mse	1.00E-006	tansig	44202.mat	50	0.71801	0.79911	1253	389070	152800	315	737
Distributed Time Delay	5	traingd	mse	1.00E-006	tansig	44202.mat	50	0.82793	0.82642	1295	447220	92944	272	2444
Distributed Time Delay	29	traingd	mse	1.00E-006	tansig	44202.mat	50	0.84607	0.81801	1281	457320	83200	285	2082
Distributed Time Delay	3	trainrp	mse	1.00E-006	hardlim	44202.mat	50	0.00007372	0.98406	1543	40	542560	25	6
Distributed Time Delay	5	trainrp	mse	1.00E-006	hardlim	44202.mat	50	1	0	0	542120	0	1255	799
Distributed Time Delay	29	trainrp	mse	1.00E-006	hardlim	44202.mat	50	0.99951	0.3283	457	541580	265	935	934
Distributed Time Delay	3	trainrp	mse	1.00E-006	purelin	44202.mat	50	0.99684	0.58604	865	535470	1699	611	5524
Distributed Time Delay	5	trainrp	mse	1.00E-006	purelin	44202.mat	50	0.99828	0.44417	533	539740	932	667	2301
Distributed Time Delay	29	trainrp	mse	1.00E-006	purelin	44202.mat	50	0.99496	0.54428	676	535690	2714	566	4523
Distributed Time Delay	3	trainrp	mse	1.00E-006	logsig	44202.mat	50	0.0058596	0.81637	1147	3167	537310	258	2287
Distributed Time Delay	5	trainrp	mse	1.00E-006	logsig	44202.mat	50	0.99824	0.25957	305	539390	953	870	2653
Distributed Time Delay	29	trainrp	mse	1.00E-006	logsig	44202.mat	50	0.9915	0.54807	667	535960	4596	550	2393
Distributed Time Delay	3	trainrp	mse	1.00E-006	tansig	44202.mat	50	3.6873E-006	1	1509	2	542400	0	261
Distributed Time Delay	5	trainrp	mse	1.00E-006	tansig	44202.mat	50	0.99978	0.081006	58	526360	115	658	16976
Distributed Time Delay	29	trainrp	mse	1.00E-006	tansig	44202.mat	50	0.98987	0.62575	943	535660	5480	564	1528
Distributed Time Delay	3	trainscg	mse	1.00E-006	hardlim	44202.mat	50	0.99953	0.021033	33	542350	255	1536	1
Distributed Time Delay	5	trainscg	mse	1.00E-006	hardlim	44202.mat	50	0.99949	0.08413	132	542320	277	1437	0
Distributed Time Delay	29	trainscg	mse	1.00E-006	hardlim	44202.mat	50	0.98925	0.52263	820	536750	5833	749	15
Distributed Time Delay	3	trainscg	mse	1.00E-006	purelin	44202.mat	50	0.98867	0.63596	994	536020	6141	569	450
Distributed Time Delay	5	trainscg	mse	1.00E-006	purelin	44202.mat	50	0.98796	0.64244	999	535620	6527	556	468
Distributed Time Delay	29	trainscg	mse	1.00E-006	purelin	44202.mat	50	0.99056	0.63931	927	534730	5098	523	2891
Distributed Time Delay	3	trainscg	mse	1.00E-006	logsig	44202.mat	50	0.95216	0.76835	1204	516130	25930	363	543
Distributed Time Delay	5	trainscg	mse	1.00E-006	logsig	44202.mat	50	0.94663	0.78594	1230	512520	28896	335	1185
Distributed Time Delay	29	trainscg	mse	1.00E-006	logsig	44202.mat	50	0.93795	0.7886	1231	507210	33552	330	1844
Distributed Time Delay	3	trainscg	mse	1.00E-006	tansig	44202.mat	50	0.94665	0.77856	1220	513440	28936	347	231
Distributed Time Delay	5	trainscg	mse	1.00E-006	tansig	44202.mat	50	0.9512	0.7743	1211	514810	26414	353	1378
Distributed Time Delay	29	trainscg	mse	1.00E-006	tansig	44202.mat	50	0.93537	0.7918	1236	506120	34973	325	1521
FF Input Time Delay	3	traingd	mse	1.00E-006	hardlim	44202.mat	50	1	0	0	542600	0	1569	1
FF Input Time Delay	5	traingd	mse	1.00E-006	hardlim	44202.mat	50	0	1	1569	0	542600	0	1
FF Input Time Delay	29	traingd	mse	1.00E-006	hardlim	44202.mat	50	9.2149E-006	0.99936	1568	5	542600	1	1
FF Input Time Delay	3	traingd	mse	1.00E-006	purelin	44202.mat	50	0.98843	0.6388	1001	536270	6277	566	52
FF Input Time Delay	5	traingd	mse	1.00E-006	purelin	44202.mat	50	0.98588	0.64615	1008	534530	7654	552	422
FF Input Time Delay	29	traingd	mse	1.00E-006	purelin	44202.mat	50	0.9847	0.64634	1007	533820	8293	551	499
FF Input Time Delay	3	traingd	mse	1.00E-006	logsig	44202.mat	50	0.76613	0.83673	1312	415500	126830	256	273
FF Input Time Delay	5	traingd	mse	1.00E-006	logsig	44202.mat	50	0.69151	0.80433	1262	375060	167320	307	224

## Single Classification

FF Input Time Delay	29	traingd	mse	1.00E-006	logsig	44202.mat	50	0.84887	0.81022	1268	458760	81678	297	2168
FF Input Time Delay	3	traingd	mse	1.00E-006	tansig	44202.mat	50	0.70143	0.82526	1294	380460	161940	274	199
FF Input Time Delay	5	traingd	mse	1.00E-006	tansig	44202.mat	50	0.80199	0.81314	1275	434360	107240	293	1000
FF Input Time Delay	29	traingd	mse	1.00E-006	tansig	44202.mat	50	0.85393	0.81302	1274	461090	78673	293	2644
FF Input Time Delay	3	trainrp	mse	1.00E-006	hardlim	44202.mat	50	0	1	1568	0	542600	0	7
FF Input Time Delay	5	trainrp	mse	1.00E-006	hardlim	44202.mat	50	0	1	1	0	6	0	544160
FF Input Time Delay	29	trainrp	mse	1.00E-006	hardlim	44202.mat	50	0.99999	0.00063735	1	542590	7	1568	0
FF Input Time Delay	3	trainrp	mse	1.00E-006	purelin	44202.mat	50	0.99513	0.60335	937	539480	2642	616	499
FF Input Time Delay	5	trainrp	mse	1.00E-006	purelin	44202.mat	50	0.99428	0.61282	956	539060	3102	604	447
FF Input Time Delay	29	trainrp	mse	1.00E-006	purelin	44202.mat	50	0.99162	0.63542	983	537070	4538	564	1011
FF Input Time Delay	3	trainrp	mse	1.00E-006	logsig	44202.mat	50	0.99501	0.74261	955	517010	2593	331	23278
FF Input Time Delay	5	trainrp	mse	1.00E-006	logsig	44202.mat	50	0.99709	0.75064	876	495980	1446	291	45577
FF Input Time Delay	29	trainrp	mse	1.00E-006	logsig	44202.mat	50	0	1	1066	0	6797	0	536310
FF Input Time Delay	3	trainrp	mse	1.00E-006	tansig	44202.mat	50	0.99517	0.62017	947	538900	2615	580	1127
FF Input Time Delay	5	trainrp	mse	1.00E-006	tansig	44202.mat	50	0.99953	0.5867	538	523360	244	379	19648
FF Input Time Delay	29	trainrp	mse	1.00E-006	tansig	44202.mat	50	0.99659	0.58854	914	540150	1849	639	617
FF Input Time Delay	3	trainscg	mse	1.00E-006	hardlim	44202.mat	50	0.000012901	0.99936	1568	7	542590	1	0
FF Input Time Delay	5	trainscg	mse	1.00E-006	hardlim	44202.mat	50	1	0	0	542600	0	1569	2
FF Input Time Delay	29	trainscg	mse	1.00E-006	hardlim	44202.mat	50	1	0	0	6	0	1	544160
FF Input Time Delay	3	trainscg	mse	1.00E-006	purelin	44202.mat	50	0.98584	0.65237	1019	534700	7681	543	231
FF Input Time Delay	5	trainscg	mse	1.00E-006	purelin	44202.mat	50	0.98665	0.64875	1014	534900	7237	549	469
FF Input Time Delay	29	trainscg	mse	1.00E-006	purelin	44202.mat	50	0.98547	0.64387	998	534280	7880	552	465
FF Input Time Delay	3	trainscg	mse	1.00E-006	logsig	44202.mat	50	0.93853	0.78799	1234	508840	33328	332	436
FF Input Time Delay	5	trainscg	mse	1.00E-006	logsig	44202.mat	50	0.9562	0.77046	1205	517920	23722	359	963
FF Input Time Delay	29	trainscg	mse	1.00E-006	logsig	44202.mat	50	0.94379	0.78526	1225	511070	30440	335	1103
FF Input Time Delay	3	trainscg	mse	1.00E-006	tansig	44202.mat	50	0.96559	0.74646	1160	522440	18620	394	1556
FF Input Time Delay	5	trainscg	mse	1.00E-006	tansig	44202.mat	50	0.96361	0.75622	1185	522290	19723	382	591
FF Input Time Delay	29	trainscg	mse	1.00E-006	tansig	44202.mat	50	0.93715	0.79145	1241	507730	34050	327	818
Radial Basis Network	3	-	-	0.01	-	44202.mat	70	0.87692	0.86339	1776	502580	70539	281	0
Radial Basis Network	5	-	-	0.01	-	44202.mat	70	0.87107	0.86339	1776	499230	73893	281	0
Radial Basis Network	29	-	-	0.01	-	44202.mat	70	0.81372	0.91492	1882	466360	106760	175	0
FeedForward	3	traingd	mse	1.00E-006	-	44202.mat	70	0.77137	0.81274	1671	441680	130920	385	524
FeedForward	5	traingd	mse	1.00E-006	-	44202.mat	70	0.73627	0.80165	1649	421930	151140	408	52
FeedForward	29	traingd	mse	1.00E-006	-	44202.mat	70	0.85608	0.79698	1637	490310	82425	417	393
FeedForward	3	trainrp	mse	1.00E-006	-	44202.mat	70	0.99224	0.51266	506	406520	3178	481	164490
FeedForward	5	trainrp	mse	1.00E-006	-	44202.mat	70	0.99392	0.49385	843	565990	3461	864	4025
FeedForward	29	trainrp	mse	1.00E-006	-	44202.mat	70	0.99093	0.62716	1196	566790	5190	711	1291
FeedForward	3	trainscg	mse	1.00E-006	-	44202.mat	70	0.96169	0.7545	1552	551110	21956	505	55
FeedForward	5	trainscg	mse	1.00E-006	-	44202.mat	70	0.9547	0.74805	1538	547100	25959	518	63
FeedForward	29	trainscg	mse	1.00E-006	-	44202.mat	70	0.94225	0.74811	1482	538830	33025	499	1344
Layer Recurrent Network	3	traingd	mse	1.00E-006	-	44202.mat	70	0.82412	0.80839	1658	470090	100320	393	2713
Layer Recurrent Network	5	traingd	mse	1.00E-006	-	44202.mat	70	0.72568	0.80117	1648	415260	156970	409	895
Layer Recurrent Network	29	traingd	mse	1.00E-006	-	44202.mat	70	0.86094	0.7735	1588	492930	79615	465	583
Layer Recurrent Network	3	trainrp	mse	1.00E-006	-	44202.mat	70	0.99683	0.45982	927	571040	1816	1089	304
Layer Recurrent Network	5	trainrp	mse	1.00E-006	-	44202.mat	70	0.98879	0.46646	605	542410	6150	692	25323
Layer Recurrent Network	29	trainrp	mse	1.00E-006	-	44202.mat	70	0.99262	0.61264	1202	567080	4218	760	1920
Layer Recurrent Network	3	trainscg	mse	1.00E-006	-	44202.mat	70	0.91619	0.80117	1648	525060	48029	409	33
Layer Recurrent Network	5	trainscg	mse	1.00E-006	-	44202.mat	70	0.95971	0.76216	1567	549960	23088	489	74
Layer Recurrent Network	29	trainscg	mse	1.00E-006	-	44202.mat	70	0.94429	0.78146	1602	540550	31888	448	690
Distributed Time Delay	3	traingd	mse	1.00E-006	hardlim	44202.mat	70	0.98427	0.31356	645	564100	9015	1412	6
Distributed Time Delay	5	traingd	mse	1.00E-006	hardlim	44202.mat	70	0.99453	0.53064	1091	569940	3137	965	44
Distributed Time Delay	29	traingd	mse	1.00E-006	hardlim	44202.mat	70	0.98914	0.45892	944	566870	6222	1113	32
Distributed Time Delay	3	traingd	mse	1.00E-006	purelin	44202.mat	70	0.99041	0.64063	1312	567350	5496	736	281

## Single Classification

Distributed Time Delay	5	traingd	mse	1.00E-006	purelin	44202.mat	70	0.99124	0.64029	1303	567250	5015	732	881
Distributed Time Delay	29	traingd	mse	1.00E-006	purelin	44202.mat	70	0.98754	0.64296	1320	565880	7142	733	99
Distributed Time Delay	3	traingd	mse	1.00E-006	logsig	44202.mat	70	0.68914	0.81818	1693	394850	178110	374	160
Distributed Time Delay	5	traingd	mse	1.00E-006	logsig	44202.mat	70	0.76389	0.81274	1671	436210	134830	385	2082
Distributed Time Delay	29	traingd	mse	1.00E-006	logsig	44202.mat	70	0.86519	0.81938	1683	494720	77084	371	1318
Distributed Time Delay	3	traingd	mse	1.00E-006	tansig	44202.mat	70	0.72026	0.8142	1674	412240	160110	382	770
Distributed Time Delay	5	traingd	mse	1.00E-006	tansig	44202.mat	70	0.82846	0.82871	1703	472690	97873	352	2564
Distributed Time Delay	29	traingd	mse	1.00E-006	tansig	44202.mat	70	0.84688	0.82132	1687	483530	87427	367	2172
Distributed Time Delay	3	trainrp	mse	1.00E-006	hardlim	44202.mat	70	0.000078518	0.98784	2031	45	573070	25	8
Distributed Time Delay	5	trainrp	mse	1.00E-006	hardlim	44202.mat	70	1	0	0	572610	0	1663	902
Distributed Time Delay	29	trainrp	mse	1.00E-006	hardlim	44202.mat	70	0.9995	0.31318	575	572050	284	1261	1011
Distributed Time Delay	3	trainrp	mse	1.00E-006	purelin	44202.mat	70	0.99686	0.58717	1135	565500	1780	798	5967
Distributed Time Delay	5	trainrp	mse	1.00E-006	purelin	44202.mat	70	0.99827	0.44144	701	570140	989	887	2464
Distributed Time Delay	29	trainrp	mse	1.00E-006	purelin	44202.mat	70	0.99502	0.53479	884	565930	2832	769	4766
Distributed Time Delay	3	trainrp	mse	1.00E-006	logsig	44202.mat	70	0.0057697	0.80196	1470	3294	567620	363	2433
Distributed Time Delay	5	trainrp	mse	1.00E-006	logsig	44202.mat	70	0.99825	0.29693	465	569750	997	1101	2865
Distributed Time Delay	29	trainrp	mse	1.00E-006	logsig	44202.mat	70	0.99164	0.5628	941	566230	4772	731	2504
Distributed Time Delay	3	trainrp	mse	1.00E-006	tansig	44202.mat	70	3.4909E-006	1	1991	2	572920	0	268
Distributed Time Delay	5	trainrp	mse	1.00E-006	tansig	44202.mat	70	0.99979	0.097895	93	555900	116	857	18213
Distributed Time Delay	29	trainrp	mse	1.00E-006	tansig	44202.mat	70	0.99	0.62582	1241	565880	5714	742	1606
Distributed Time Delay	3	trainscg	mse	1.00E-006	hardlim	44202.mat	70	0.99954	0.019932	41	572960	262	2016	2
Distributed Time Delay	5	trainscg	mse	1.00E-006	hardlim	44202.mat	70	0.99948	0.082645	170	572820	299	1887	0
Distributed Time Delay	29	trainscg	mse	1.00E-006	hardlim	44202.mat	70	0.98838	0.5124	1054	566450	6657	1003	15
Distributed Time Delay	3	trainscg	mse	1.00E-006	purelin	44202.mat	70	0.98884	0.63912	1307	566270	6390	738	477
Distributed Time Delay	5	trainscg	mse	1.00E-006	purelin	44202.mat	70	0.98815	0.64587	1315	565860	6785	721	499
Distributed Time Delay	29	trainscg	mse	1.00E-006	purelin	44202.mat	70	0.99071	0.6408	1222	564920	5296	685	3056
Distributed Time Delay	3	trainscg	mse	1.00E-006	logsig	44202.mat	70	0.95223	0.76934	1581	545190	27353	474	585
Distributed Time Delay	5	trainscg	mse	1.00E-006	logsig	44202.mat	70	0.94671	0.78606	1613	541370	30475	439	1283
Distributed Time Delay	29	trainscg	mse	1.00E-006	logsig	44202.mat	70	0.93794	0.78965	1618	535720	35444	431	1970
Distributed Time Delay	3	trainscg	mse	1.00E-006	tansig	44202.mat	70	0.94668	0.78151	1606	542330	30545	449	252
Distributed Time Delay	5	trainscg	mse	1.00E-006	tansig	44202.mat	70	0.95127	0.77561	1590	543810	27858	460	1456
Distributed Time Delay	29	trainscg	mse	1.00E-006	tansig	44202.mat	70	0.93537	0.79277	1622	534590	36940	424	1606
FF Input Time Delay	3	traingd	mse	1.00E-006	hardlim	44202.mat	70	1	0	0	573120	0	2057	1
FF Input Time Delay	5	traingd	mse	1.00E-006	hardlim	44202.mat	70	0	1	2057	0	573120	0	1
FF Input Time Delay	29	traingd	mse	1.00E-006	hardlim	44202.mat	70	0.000015704	0.99951	2056	9	573110	1	1
FF Input Time Delay	3	traingd	mse	1.00E-006	purelin	44202.mat	70	0.98862	0.64167	1318	566550	6519	736	57
FF Input Time Delay	5	traingd	mse	1.00E-006	purelin	44202.mat	70	0.98604	0.65005	1330	564680	7993	716	458
FF Input Time Delay	29	traingd	mse	1.00E-006	purelin	44202.mat	70	0.98484	0.64922	1327	563920	8681	717	533
FF Input Time Delay	3	traingd	mse	1.00E-006	logsig	44202.mat	70	0.76647	0.83998	1727	439050	133770	329	308
FF Input Time Delay	5	traingd	mse	1.00E-006	logsig	44202.mat	70	0.69305	0.81964	1686	397040	175850	371	235
FF Input Time Delay	29	traingd	mse	1.00E-006	logsig	44202.mat	70	0.84965	0.81383	1671	485030	85830	382	2270
FF Input Time Delay	3	traingd	mse	1.00E-006	tansig	44202.mat	70	0.70411	0.83414	1715	403390	169520	341	212
FF Input Time Delay	5	traingd	mse	1.00E-006	tansig	44202.mat	70	0.80339	0.82004	1686	459600	112480	370	1045
FF Input Time Delay	29	traingd	mse	1.00E-006	tansig	44202.mat	70	0.85469	0.81655	1678	487460	82874	377	2793
FF Input Time Delay	3	trainrp	mse	1.00E-006	hardlim	44202.mat	70	0	1	2056	0	573110	0	11
FF Input Time Delay	5	trainrp	mse	1.00E-006	hardlim	44202.mat	70	0	1	1	0	10	0	575170
FF Input Time Delay	29	trainrp	mse	1.00E-006	hardlim	44202.mat	70	0.99998	0.00048614	1	573110	11	2056	0
FF Input Time Delay	3	trainrp	mse	1.00E-006	purelin	44202.mat	70	0.99518	0.60039	1223	569860	2761	814	518
FF Input Time Delay	5	trainrp	mse	1.00E-006	purelin	44202.mat	70	0.99435	0.61117	1248	569440	3236	794	464
FF Input Time Delay	29	trainrp	mse	1.00E-006	purelin	44202.mat	70	0.99174	0.63717	1289	567380	4725	734	1048
FF Input Time Delay	3	trainrp	mse	1.00E-006	logsig	44202.mat	70	0.99506	0.73843	1245	546220	2713	441	24561
FF Input Time Delay	5	trainrp	mse	1.00E-006	logsig	44202.mat	70	0.99709	0.7474	1148	523730	1527	388	48383
FF Input Time Delay	29	trainrp	mse	1.00E-006	logsig	44202.mat	70	0	1	1394	0	7052	0	566730

## Single Classification

FF Input Time Delay	3	trainrp	mse	1.00E-006	tansig	44202.mat	70	0.99522	0.61993	1238	569270	2734	759	1176
FF Input Time Delay	5	trainrp	mse	1.00E-006	tansig	44202.mat	70	0.99951	0.5834	703	552950	270	502	20751
FF Input Time Delay	29	trainrp	mse	1.00E-006	tansig	44202.mat	70	0.9966	0.58673	1194	570560	1948	841	638
FF Input Time Delay	3	trainscg	mse	1.00E-006	hardlim	44202.mat	70	0.000019193	0.99951	2056	11	573110	1	0
FF Input Time Delay	5	trainscg	mse	1.00E-006	hardlim	44202.mat	70	1	0	0	573120	0	2057	2
FF Input Time Delay	29	trainscg	mse	1.00E-006	hardlim	44202.mat	70	1	0	0	10	0	1	575170
FF Input Time Delay	3	trainscg	mse	1.00E-006	purelin	44202.mat	70	0.986	0.6561	1345	564860	8023	705	242
FF Input Time Delay	5	trainscg	mse	1.00E-006	purelin	44202.mat	70	0.98683	0.65334	1340	565080	7542	711	503
FF Input Time Delay	29	trainscg	mse	1.00E-006	purelin	44202.mat	70	0.98556	0.64764	1316	564370	8269	716	509
FF Input Time Delay	3	trainscg	mse	1.00E-006	logsig	44202.mat	70	0.93848	0.78958	1621	537430	35229	432	465
FF Input Time Delay	5	trainscg	mse	1.00E-006	logsig	44202.mat	70	0.95635	0.77122	1581	547140	24975	469	1017
FF Input Time Delay	29	trainscg	mse	1.00E-006	logsig	44202.mat	70	0.94385	0.78554	1608	539850	32117	439	1169
FF Input Time Delay	3	trainscg	mse	1.00E-006	tansig	44202.mat	70	0.96575	0.74841	1526	551920	19574	513	1649
FF Input Time Delay	5	trainscg	mse	1.00E-006	tansig	44202.mat	70	0.96373	0.7562	1554	551750	20762	501	616
FF Input Time Delay	29	trainscg	mse	1.00E-006	tansig	44202.mat	70	0.93706	0.79319	1630	536230	36017	425	876
Radial Basis Network	3	-	-	0.01	-	63502.mat	30	0.93157	0.67449	1092	153600	11283	527	0
Radial Basis Network	5	-	-	0.01	-	63502.mat	30	0.91729	0.71587	1159	151250	13637	460	0
Radial Basis Network	29	-	-	0.01	-	63502.mat	30	0.80161	0.75479	1222	132170	32712	397	0
FeedForward	3	traingd	mse	1.00E-006	-	63502.mat	30	0.80417	0.6972	1119	131220	31955	486	1725
FeedForward	5	traingd	mse	1.00E-006	-	63502.mat	30	0.94104	0.66395	1059	153040	9589	536	2281
FeedForward	29	traingd	mse	1.00E-006	-	63502.mat	30	0.94187	0.66646	1067	154860	9558	534	484
FeedForward	3	trainrp	mse	1.00E-006	-	63502.mat	30	0.98319	0.46497	657	149920	2563	756	12614
FeedForward	5	trainrp	mse	1.00E-006	-	63502.mat	30	0.99308	0.49921	632	153180	1067	634	10991
FeedForward	29	trainrp	mse	1.00E-006	-	63502.mat	30	0.98731	0.52303	704	159750	2053	642	3361
FeedForward	3	trainscg	mse	1.00E-006	-	63502.mat	30	0.97216	0.62555	1004	159030	4555	601	1313
FeedForward	5	trainscg	mse	1.00E-006	-	63502.mat	30	0.97932	0.60079	915	161370	3408	608	206
FeedForward	29	trainscg	mse	1.00E-006	-	63502.mat	30	0.96968	0.57485	887	158090	4943	656	1926
Layer Recurrent Network	3	traingd	mse	1.00E-006	-	63502.mat	30	0.96553	0.6518	1052	159050	5678	562	160
Layer Recurrent Network	5	traingd	mse	1.00E-006	-	63502.mat	30	0.97964	0.61955	995	161080	3348	611	468
Layer Recurrent Network	29	traingd	mse	1.00E-006	-	63502.mat	30	0.97553	0.5701	858	160020	4013	647	972
Layer Recurrent Network	3	trainrp	mse	1.00E-006	-	63502.mat	30	0.99977	0.016	6	39266	9	369	126860
Layer Recurrent Network	5	trainrp	mse	1.00E-006	-	63502.mat	30	0.99341	0.37527	343	153830	1020	571	10745
Layer Recurrent Network	29	trainrp	mse	1.00E-006	-	63502.mat	30	0.98549	0.55663	860	159780	2352	685	2826
Layer Recurrent Network	3	trainscg	mse	1.00E-006	-	63502.mat	30	0.9761	0.57947	937	160930	3941	680	13
Layer Recurrent Network	5	trainscg	mse	1.00E-006	-	63502.mat	30	0.9825	0.60842	968	161420	2875	623	615
Layer Recurrent Network	29	trainscg	mse	1.00E-006	-	63502.mat	30	0.97164	0.56075	863	159400	4652	676	918
Distributed Time Delay	3	traingd	mse	1.00E-006	hardlim	63502.mat	30	0	1	1567	0	164860	0	81
Distributed Time Delay	5	traingd	mse	1.00E-006	hardlim	63502.mat	30	0.97006	0.50309	814	159910	4935	804	39
Distributed Time Delay	29	traingd	mse	1.00E-006	hardlim	63502.mat	30	0.94932	0.41313	623	155590	8307	885	1101
Distributed Time Delay	3	traingd	mse	1.00E-006	purelin	63502.mat	30	0.94497	0.58936	953	155760	9070	664	59
Distributed Time Delay	5	traingd	mse	1.00E-006	purelin	63502.mat	30	0.95054	0.59071	954	156560	8147	661	186
Distributed Time Delay	29	traingd	mse	1.00E-006	purelin	63502.mat	30	0.97701	0.59975	950	158880	3738	634	2299
Distributed Time Delay	3	traingd	mse	1.00E-006	logsig	63502.mat	30	0.77261	0.74442	1200	125910	37058	412	1922
Distributed Time Delay	5	traingd	mse	1.00E-006	logsig	63502.mat	30	0.89539	0.66522	1075	147590	17244	541	55
Distributed Time Delay	29	traingd	mse	1.00E-006	logsig	63502.mat	30	0.89905	0.71375	1137	146490	16449	456	1970
Distributed Time Delay	3	traingd	mse	1.00E-006	tansig	63502.mat	30	0.95112	0.66893	1083	156730	8055	536	103
Distributed Time Delay	5	traingd	mse	1.00E-006	tansig	63502.mat	30	0.94897	0.67846	1093	156220	8400	518	271
Distributed Time Delay	29	traingd	mse	1.00E-006	tansig	63502.mat	30	0.91309	0.69164	1108	149690	14248	494	969
Distributed Time Delay	3	trainrp	mse	1.00E-006	hardlim	63502.mat	30	NaN	NaN	0	0	0	0	166510
Distributed Time Delay	5	trainrp	mse	1.00E-006	hardlim	63502.mat	30	0.99987	0	0	164290	22	1578	613
Distributed Time Delay	29	trainrp	mse	1.00E-006	hardlim	63502.mat	30	0.6279	0.33488	72	1274	755	143	164260
Distributed Time Delay	3	trainrp	mse	1.00E-006	purelin	63502.mat	30	0.9922	0.48952	607	160320	1260	633	3687
Distributed Time Delay	5	trainrp	mse	1.00E-006	purelin	63502.mat	30	0.94569	0.55611	778	144920	8322	621	11867



## Single Classification

Distributed Time Delay	29	trainrp	mse	1.00E-006	purelin	63502.mat	30	0.98661	0.5665	805	156010	2118	616	6954
Distributed Time Delay	3	trainrp	mse	1.00E-006	logsig	63502.mat	30	0.9927	0.47794	650	160340	1179	710	3623
Distributed Time Delay	5	trainrp	mse	1.00E-006	logsig	63502.mat	30	1	0	0	1911	0	300	164290
Distributed Time Delay	29	trainrp	mse	1.00E-006	logsig	63502.mat	30	0.94299	0.56899	866	153790	9297	656	1698
Distributed Time Delay	3	trainrp	mse	1.00E-006	tansig	63502.mat	30	0.97903	0.56207	892	159540	3417	695	1965
Distributed Time Delay	5	trainrp	mse	1.00E-006	tansig	63502.mat	30	0.97333	0.58333	910	159590	4373	650	985
Distributed Time Delay	29	trainrp	mse	1.00E-006	tansig	63502.mat	30	0.98389	0.54564	801	158220	2590	667	4227
Distributed Time Delay	3	trainscg	mse	1.00E-006	hardlim	63502.mat	30	0	1	1	0	460	0	166040
Distributed Time Delay	5	trainscg	mse	1.00E-006	hardlim	63502.mat	30	0.0024444	0.9697	1568	403	164470	49	19
Distributed Time Delay	29	trainscg	mse	1.00E-006	hardlim	63502.mat	30	0.91408	0.53846	721	149380	14040	618	1751
Distributed Time Delay	3	trainscg	mse	1.00E-006	purelin	63502.mat	30	0.97315	0.57196	926	160420	4427	693	36
Distributed Time Delay	5	trainscg	mse	1.00E-006	purelin	63502.mat	30	0.98058	0.59379	937	158900	3147	641	2885
Distributed Time Delay	29	trainscg	mse	1.00E-006	purelin	63502.mat	30	0.98459	0.57123	838	157520	2465	629	5054
Distributed Time Delay	3	trainscg	mse	1.00E-006	logsig	63502.mat	30	0.97712	0.62485	1011	161110	3772	607	4
Distributed Time Delay	5	trainscg	mse	1.00E-006	logsig	63502.mat	30	0.97608	0.50155	807	160840	3941	802	111
Distributed Time Delay	29	trainscg	mse	1.00E-006	logsig	63502.mat	30	0.97651	0.53475	754	159320	3833	656	1939
Distributed Time Delay	3	trainscg	mse	1.00E-006	tansig	63502.mat	30	0.97652	0.61248	991	161000	3872	627	12
Distributed Time Delay	5	trainscg	mse	1.00E-006	tansig	63502.mat	30	0.98059	0.59478	957	161550	3198	652	151
Distributed Time Delay	29	trainscg	mse	1.00E-006	tansig	63502.mat	30	0.95833	0.6363	943	156610	6809	539	1602
FF Input Time Delay	3	traingd	mse	1.00E-006	hardlim	63502.mat	30	0.0024994	0.99876	1612	412	164430	2	52
FF Input Time Delay	5	traingd	mse	1.00E-006	hardlim	63502.mat	30	1	0	0	31	0	3	166470
FF Input Time Delay	29	traingd	mse	1.00E-006	hardlim	63502.mat	30	0.97585	0.6	3	202	5	2	166290
FF Input Time Delay	3	traingd	mse	1.00E-006	purelin	63502.mat	30	0.97021	0.57882	929	159330	4893	676	674
FF Input Time Delay	5	traingd	mse	1.00E-006	purelin	63502.mat	30	0.98134	0.58505	939	161430	3070	666	399
FF Input Time Delay	29	traingd	mse	1.00E-006	purelin	63502.mat	30	0.96919	0.59513	954	158180	5029	649	1697
FF Input Time Delay	3	traingd	mse	1.00E-006	logsig	63502.mat	30	0.95962	0.6714	1087	158210	6657	532	22
FF Input Time Delay	5	traingd	mse	1.00E-006	logsig	63502.mat	30	0.96376	0.65139	1052	158610	5964	563	316
FF Input Time Delay	29	traingd	mse	1.00E-006	logsig	63502.mat	30	0.92785	0.64988	1045	152390	11850	563	653
FF Input Time Delay	3	traingd	mse	1.00E-006	tansig	63502.mat	30	0.7601	0.70545	1140	124780	39384	476	722
FF Input Time Delay	5	traingd	mse	1.00E-006	tansig	63502.mat	30	0.83522	0.68128	1088	137290	27086	509	533
FF Input Time Delay	29	traingd	mse	1.00E-006	tansig	63502.mat	30	0.95542	0.62108	990	156780	7316	604	813
FF Input Time Delay	3	trainrp	mse	1.00E-006	hardlim	63502.mat	30	1	0	0	76	0	5	166420
FF Input Time Delay	5	trainrp	mse	1.00E-006	hardlim	63502.mat	30	0.99916	0.0018587	3	164470	138	1611	288
FF Input Time Delay	29	trainrp	mse	1.00E-006	hardlim	63502.mat	30	0.00049769	0.99627	1603	82	164680	6	135
FF Input Time Delay	3	trainrp	mse	1.00E-006	purelin	63502.mat	30	0.96856	0.58524	944	158790	5155	669	950
FF Input Time Delay	5	trainrp	mse	1.00E-006	purelin	63502.mat	30	0.97349	0.57391	924	159630	4347	686	921
FF Input Time Delay	29	trainrp	mse	1.00E-006	purelin	63502.mat	30	0.96914	0.58089	930	158770	5056	671	1083
FF Input Time Delay	3	trainrp	mse	1.00E-006	logsig	63502.mat	30	0.99977	0	0	164360	37	1525	581
FF Input Time Delay	5	trainrp	mse	1.00E-006	logsig	63502.mat	30	0	1	1619	0	164890	0	0
FF Input Time Delay	29	trainrp	mse	1.00E-006	logsig	63502.mat	30	0	1	1119	0	15230	0	150160
FF Input Time Delay	3	trainrp	mse	1.00E-006	tansig	63502.mat	30	0.0022352	0.99241	1568	368	164270	12	289
FF Input Time Delay	5	trainrp	mse	1.00E-006	tansig	63502.mat	30	0	1	1616	0	164850	0	35
FF Input Time Delay	29	trainrp	mse	1.00E-006	tansig	63502.mat	30	0.038406	0.99907	1074	506	12669	1	152260
FF Input Time Delay	3	trainscg	mse	1.00E-006	hardlim	63502.mat	30	1	0	0	383	0	1	166120
FF Input Time Delay	5	trainscg	mse	1.00E-006	hardlim	63502.mat	30	0	1	5	0	400	0	166100
FF Input Time Delay	29	trainscg	mse	1.00E-006	hardlim	63502.mat	30	0.43529	0.125	1	37	48	7	166410
FF Input Time Delay	3	trainscg	mse	1.00E-006	purelin	63502.mat	30	0.96126	0.61524	993	158030	6369	621	493
FF Input Time Delay	5	trainscg	mse	1.00E-006	purelin	63502.mat	30	0.97644	0.58048	934	160580	3875	675	441
FF Input Time Delay	29	trainscg	mse	1.00E-006	purelin	63502.mat	30	0.97503	0.59045	940	159360	4082	652	1469
FF Input Time Delay	3	trainscg	mse	1.00E-006	logsig	63502.mat	30	0.97858	0.43562	680	160120	3505	881	1315
FF Input Time Delay	5	trainscg	mse	1.00E-006	logsig	63502.mat	30	0.97997	0.58142	939	161430	3299	676	161
FF Input Time Delay	29	trainscg	mse	1.00E-006	logsig	63502.mat	30	0.98199	0.59252	951	161510	2962	654	424
FF Input Time Delay	3	trainscg	mse	1.00E-006	tansig	63502.mat	30	0.9756	0.62075	1005	160860	4023	614	8

## Single Classification

FF Input Time Delay	5	trainscg	mse	1.00E-006	tansig	63502.mat	30	0.96958	0.61053	986	159590	5007	629	290
FF Input Time Delay	29	trainscg	mse	1.00E-006	tansig	63502.mat	30	0.97646	0.56591	893	159890	3655	685	1184
Radial Basis Network	3	-	-	0.01	-	63502.mat	50	0.91551	0.67216	734	104010	9599	358	0
Radial Basis Network	5	-	-	0.01	-	63502.mat	50	0.91547	0.67216	734	104010	9604	358	0
Radial Basis Network	29	-	-	0.01	-	63502.mat	50	0.90873	0.71154	777	103240	10369	315	0
FeedForward	3	traingd	mse	1.00E-006	-	63502.mat	50	0.91189	0.70879	774	103220	9974	318	416
FeedForward	5	traingd	mse	1.00E-006	-	63502.mat	50	0.9121	0.67919	741	103450	9970	350	190
FeedForward	29	traingd	mse	1.00E-006	-	63502.mat	50	0.94468	0.65074	708	106880	6259	380	476
FeedForward	3	trainrp	mse	1.00E-006	-	63502.mat	50	0.94243	0.10502	113	105400	6438	963	1791
FeedForward	5	trainrp	mse	1.00E-006	-	63502.mat	50	0.17536	0.96976	481	447	2102	15	111660
FeedForward	29	trainrp	mse	1.00E-006	-	63502.mat	50	0.97123	0.47411	467	106290	3148	518	4283
FeedForward	3	trainscg	mse	1.00E-006	-	63502.mat	50	0.95578	0.59303	647	108560	5023	444	29
FeedForward	5	trainscg	mse	1.00E-006	-	63502.mat	50	0.96136	0.62546	683	109210	4389	409	13
FeedForward	29	trainscg	mse	1.00E-006	-	63502.mat	50	0.95968	0.57618	624	108230	4547	459	844
Layer Recurrent Network	3	traingd	mse	1.00E-006	-	63502.mat	50	0.9122	0.69231	756	103640	9975	336	0
Layer Recurrent Network	5	traingd	mse	1.00E-006	-	63502.mat	50	0.91525	0.69203	755	103540	9588	336	484
Layer Recurrent Network	29	traingd	mse	1.00E-006	-	63502.mat	50	0.92691	0.65533	713	105090	8287	375	235
Layer Recurrent Network	3	trainrp	mse	1.00E-006	-	63502.mat	50	0.99727	0.12133	91	110560	303	659	3092
Layer Recurrent Network	5	trainrp	mse	1.00E-006	-	63502.mat	50	0.97452	0.485	485	108020	2624	515	2862
Layer Recurrent Network	29	trainrp	mse	1.00E-006	-	63502.mat	50	0.96848	0.49755	508	107430	3496	513	2761
Layer Recurrent Network	3	trainscg	mse	1.00E-006	-	63502.mat	50	0.96415	0.57599	628	109480	4071	464	66
Layer Recurrent Network	5	trainscg	mse	1.00E-006	-	63502.mat	50	0.94226	0.59945	654	106920	6552	437	138
Layer Recurrent Network	29	trainscg	mse	1.00E-006	-	63502.mat	50	0.95236	0.61892	674	107860	5396	415	357
Distributed Time Delay	3	traingd	mse	1.00E-006	hardlim	63502.mat	50	0.000052907	1	1091	6	113400	0	207
Distributed Time Delay	5	traingd	mse	1.00E-006	hardlim	63502.mat	50	0.00033482	1	1091	38	113460	0	119
Distributed Time Delay	29	traingd	mse	1.00E-006	hardlim	63502.mat	50	0.97479	0.37248	406	110410	2855	684	352
Distributed Time Delay	3	traingd	mse	1.00E-006	purelin	63502.mat	50	0.96888	0.54679	596	109990	3533	494	89
Distributed Time Delay	5	traingd	mse	1.00E-006	purelin	63502.mat	50	0.97142	0.54002	587	110230	3243	500	147
Distributed Time Delay	29	traingd	mse	1.00E-006	purelin	63502.mat	50	0.97055	0.54529	590	109850	3333	492	443
Distributed Time Delay	3	traingd	mse	1.00E-006	logsig	63502.mat	50	0.88578	0.70394	768	100530	12963	323	117
Distributed Time Delay	5	traingd	mse	1.00E-006	logsig	63502.mat	50	0.91272	0.70404	766	103490	9896	322	235
Distributed Time Delay	29	traingd	mse	1.00E-006	logsig	63502.mat	50	0.91832	0.69294	756	104120	9260	335	237
Distributed Time Delay	3	traingd	mse	1.00E-006	tansig	63502.mat	50	0.88408	0.70009	761	100010	13114	326	491
Distributed Time Delay	5	traingd	mse	1.00E-006	tansig	63502.mat	50	0.92546	0.68378	746	104940	8452	345	224
Distributed Time Delay	29	traingd	mse	1.00E-006	tansig	63502.mat	50	0.9413	0.66636	727	106230	6625	364	754
Distributed Time Delay	3	trainrp	mse	1.00E-006	hardlim	63502.mat	50	0.98672	0.022326	24	112030	1508	1051	87
Distributed Time Delay	5	trainrp	mse	1.00E-006	hardlim	63502.mat	50	0	1	2	0	438	0	114260
Distributed Time Delay	29	trainrp	mse	1.00E-006	hardlim	63502.mat	50	0.96212	0.013889	1	1473	58	71	113100
Distributed Time Delay	3	trainrp	mse	1.00E-006	purelin	63502.mat	50	0.97555	0.51141	538	109560	2746	514	1345
Distributed Time Delay	5	trainrp	mse	1.00E-006	purelin	63502.mat	50	0.98574	0.4365	409	107380	1553	528	4835
Distributed Time Delay	29	trainrp	mse	1.00E-006	purelin	63502.mat	50	0.97176	0.49564	455	106820	3104	463	3863
Distributed Time Delay	3	trainrp	mse	1.00E-006	logsig	63502.mat	50	0	1	604	0	5592	0	108510
Distributed Time Delay	5	trainrp	mse	1.00E-006	logsig	63502.mat	50	0.030769	0.9883	338	146	4599	4	109620
Distributed Time Delay	29	trainrp	mse	1.00E-006	logsig	63502.mat	50	0.96858	0.38634	379	108010	3504	602	2207
Distributed Time Delay	3	trainrp	mse	1.00E-006	tansig	63502.mat	50	0.2334	0.21212	7	246	808	26	113620
Distributed Time Delay	5	trainrp	mse	1.00E-006	tansig	63502.mat	50	0.99182	0.3087	213	105130	867	477	8022
Distributed Time Delay	29	trainrp	mse	1.00E-006	tansig	63502.mat	50	0.97028	0.5571	600	108680	3329	477	1623
Distributed Time Delay	3	trainscg	mse	1.00E-006	hardlim	63502.mat	50	0.68085	NaN	0	32	15	0	114660
Distributed Time Delay	5	trainscg	mse	1.00E-006	hardlim	63502.mat	50	0.97057	0.22802	249	110270	3344	843	0
Distributed Time Delay	29	trainscg	mse	1.00E-006	hardlim	63502.mat	50	0.96635	0.28253	304	109400	3809	772	417
Distributed Time Delay	3	trainscg	mse	1.00E-006	purelin	63502.mat	50	0.97721	0.54657	581	109690	2558	482	1389
Distributed Time Delay	5	trainscg	mse	1.00E-006	purelin	63502.mat	50	0.97331	0.55079	591	109530	3003	482	1103
Distributed Time Delay	29	trainscg	mse	1.00E-006	purelin	63502.mat	50	0.97693	0.54468	579	109760	2592	484	1290

## Single Classification

Distributed Time Delay	3	trainscg	mse	1.00E-006	logsig	63502.mat	50	0.93491	0.60714	663	105680	7358	429	571
Distributed Time Delay	5	trainscg	mse	1.00E-006	logsig	63502.mat	50	0.94853	0.60165	657	107610	5840	435	158
Distributed Time Delay	29	trainscg	mse	1.00E-006	logsig	63502.mat	50	0.95589	0.60148	652	106350	4881	432	394
Distributed Time Delay	3	trainscg	mse	1.00E-006	tansig	63502.mat	50	0.93331	0.60897	665	106030	7577	427	5
Distributed Time Delay	5	trainscg	mse	1.00E-006	tansig	63502.mat	50	0.94411	0.59615	651	107130	6342	441	142
Distributed Time Delay	29	trainscg	mse	1.00E-006	tansig	63502.mat	50	0.95369	0.60294	656	107630	5226	432	763
FF Input Time Delay	3	traingd	mse	1.00E-006	hardlim	63502.mat	50	1	0	0	113600	0	1092	16
FF Input Time Delay	5	traingd	mse	1.00E-006	hardlim	63502.mat	50	0.00041421	1	1091	47	113420	0	145
FF Input Time Delay	29	traingd	mse	1.00E-006	hardlim	63502.mat	50	0.0003438	1	1091	39	113400	0	176
FF Input Time Delay	3	traingd	mse	1.00E-006	purelin	63502.mat	50	0.96142	0.54212	592	109210	4382	500	16
FF Input Time Delay	5	traingd	mse	1.00E-006	purelin	63502.mat	50	0.96427	0.54178	577	109200	4047	488	388
FF Input Time Delay	29	traingd	mse	1.00E-006	purelin	63502.mat	50	0.96917	0.55607	605	109950	3497	483	172
FF Input Time Delay	3	traingd	mse	1.00E-006	logsig	63502.mat	50	0.88688	0.70669	771	100690	12843	320	77
FF Input Time Delay	5	traingd	mse	1.00E-006	logsig	63502.mat	50	0.90063	0.71009	774	102180	11274	316	164
FF Input Time Delay	29	traingd	mse	1.00E-006	logsig	63502.mat	50	0.9223	0.68969	749	104500	8804	337	310
FF Input Time Delay	3	traingd	mse	1.00E-006	tansig	63502.mat	50	0.87958	0.71402	779	99647	13642	312	324
FF Input Time Delay	5	traingd	mse	1.00E-006	tansig	63502.mat	50	0.90287	0.6978	762	102320	11007	330	286
FF Input Time Delay	29	traingd	mse	1.00E-006	tansig	63502.mat	50	0.90792	0.68836	751	102780	10424	340	409
FF Input Time Delay	3	trainrp	mse	1.00E-006	hardlim	63502.mat	50	0.99854	0.00091575	1	113430	166	1091	17
FF Input Time Delay	5	trainrp	mse	1.00E-006	hardlim	63502.mat	50	0.78947	NaN	0	15	4	0	114690
FF Input Time Delay	29	trainrp	mse	1.00E-006	hardlim	63502.mat	50	0	1	1091	0	113430	0	180
FF Input Time Delay	3	trainrp	mse	1.00E-006	purelin	63502.mat	50	0.98954	0.33052	274	109610	1159	555	3106
FF Input Time Delay	5	trainrp	mse	1.00E-006	purelin	63502.mat	50	0.96623	0.51386	556	109620	3831	526	168
FF Input Time Delay	29	trainrp	mse	1.00E-006	purelin	63502.mat	50	0.96851	0.53704	580	109350	3555	500	723
FF Input Time Delay	3	trainrp	mse	1.00E-006	logsig	63502.mat	50	0	1	764	0	109990	0	3946
FF Input Time Delay	5	trainrp	mse	1.00E-006	logsig	63502.mat	50	0.99988	0	0	111000	13	865	2824
FF Input Time Delay	29	trainrp	mse	1.00E-006	logsig	63502.mat	50	0.0728	0.99845	646	527	6712	1	106820
FF Input Time Delay	3	trainrp	mse	1.00E-006	tansig	63502.mat	50	0.98332	0.12762	134	111480	1891	916	280
FF Input Time Delay	5	trainrp	mse	1.00E-006	tansig	63502.mat	50	0.99981	0	0	113430	22	1089	168
FF Input Time Delay	29	trainrp	mse	1.00E-006	tansig	63502.mat	50	0.97163	0.32768	348	110020	3212	714	415
FF Input Time Delay	3	trainscg	mse	1.00E-006	hardlim	63502.mat	50	0.99828	0.00091575	1	113420	195	1091	0
FF Input Time Delay	5	trainscg	mse	1.00E-006	hardlim	63502.mat	50	1	0	0	175	0	1	114530
FF Input Time Delay	29	trainscg	mse	1.00E-006	hardlim	63502.mat	50	0.99864	0.00091575	1	113420	155	1091	38
FF Input Time Delay	3	trainscg	mse	1.00E-006	purelin	63502.mat	50	0.9719	0.55147	600	109870	3177	488	568
FF Input Time Delay	5	trainscg	mse	1.00E-006	purelin	63502.mat	50	0.9758	0.55198	600	110770	2747	487	100
FF Input Time Delay	29	trainscg	mse	1.00E-006	purelin	63502.mat	50	0.97129	0.54729	596	110200	3258	493	155
FF Input Time Delay	3	trainscg	mse	1.00E-006	logsig	63502.mat	50	0.92997	0.6055	660	105620	7954	430	39
FF Input Time Delay	5	trainscg	mse	1.00E-006	logsig	63502.mat	50	0.96507	0.5864	638	109500	3963	450	151
FF Input Time Delay	29	trainscg	mse	1.00E-006	logsig	63502.mat	50	0.93422	0.62018	676	105940	7460	414	214
FF Input Time Delay	3	trainscg	mse	1.00E-006	tansig	63502.mat	50	0.95318	0.58791	642	108240	5317	450	53
FF Input Time Delay	5	trainscg	mse	1.00E-006	tansig	63502.mat	50	0.96505	0.44092	459	108410	3926	582	1323
FF Input Time Delay	29	trainscg	mse	1.00E-006	tansig	63502.mat	50	0.93197	0.61397	668	105630	7710	420	280
Radial Basis Network	3	-	-	0.01	-	63502.mat	70	0.87158	0.56122	440	38314	5645	344	0
Radial Basis Network	5	-	-	0.01	-	63502.mat	70	0.86101	0.61735	484	37849	6110	300	0
Radial Basis Network	29	-	-	0.01	-	63502.mat	70	0.86767	0.64286	504	38142	5817	280	0
FeedForward	3	traingd	mse	1.00E-006	-	63502.mat	70	0.9007	0.53009	414	39447	4349	367	166
FeedForward	5	traingd	mse	1.00E-006	-	63502.mat	70	0.91453	0.56122	440	40188	3756	344	15
FeedForward	29	traingd	mse	1.00E-006	-	63502.mat	70	0.92257	0.53521	418	40378	3389	363	195
FeedForward	3	trainrp	mse	1.00E-006	-	63502.mat	70	0.98856	0.28142	206	42939	497	526	575
FeedForward	5	trainrp	mse	1.00E-006	-	63502.mat	70	0.97941	0.12955	96	41999	863	645	1120
FeedForward	29	trainrp	mse	1.00E-006	-	63502.mat	70	0.97781	0.22674	156	41825	949	532	1281
FeedForward	3	trainscg	mse	1.00E-006	-	63502.mat	70	0.94807	0.41964	329	41665	2282	455	12
FeedForward	5	trainscg	mse	1.00E-006	-	63502.mat	70	0.96388	0.44015	342	42107	1578	435	281

## Single Classification

FeedForward	29	trainscg	mse	1.00E-006	-	63502.mat	70	0.94626	0.47382	371	41329	2347	412	284
Layer Recurrent Network	3	traingd	mse	1.00E-006	-	63502.mat	70	0.86668	0.60332	473	38070	5856	311	33
Layer Recurrent Network	5	traingd	mse	1.00E-006	-	63502.mat	70	0.87515	0.58876	461	38348	5471	322	141
Layer Recurrent Network	29	traingd	mse	1.00E-006	-	63502.mat	70	0.94908	0.47066	369	41617	2233	415	109
Layer Recurrent Network	3	trainrp	mse	1.00E-006	-	63502.mat	70	1	0	0	43275	0	686	782
Layer Recurrent Network	5	trainrp	mse	1.00E-006	-	63502.mat	70	0.99826	0.016014	9	41251	72	553	2858
Layer Recurrent Network	29	trainrp	mse	1.00E-006	-	63502.mat	70	0.97818	0.26381	191	42138	940	533	941
Layer Recurrent Network	3	trainscg	mse	1.00E-006	-	63502.mat	70	0.93256	0.43718	341	40989	2964	439	10
Layer Recurrent Network	5	trainscg	mse	1.00E-006	-	63502.mat	70	0.94812	0.43295	339	41598	2276	444	86
Layer Recurrent Network	29	trainscg	mse	1.00E-006	-	63502.mat	70	0.95529	0.45967	359	41708	1952	422	302
Distributed Time Delay	3	traingd	mse	1.00E-006	hardlim	63502.mat	70	0.98137	0.034439	27	43140	819	757	0
Distributed Time Delay	5	traingd	mse	1.00E-006	hardlim	63502.mat	70	0.00004551	1	784	2	43944	0	13
Distributed Time Delay	29	traingd	mse	1.00E-006	hardlim	63502.mat	70	0.9713	0.29449	230	42611	1259	551	92
Distributed Time Delay	3	traingd	mse	1.00E-006	purelin	63502.mat	70	0.96747	0.40434	317	42527	1430	467	2
Distributed Time Delay	5	traingd	mse	1.00E-006	purelin	63502.mat	70	0.96573	0.41956	326	42406	1505	451	55
Distributed Time Delay	29	traingd	mse	1.00E-006	purelin	63502.mat	70	0.96759	0.40154	312	42425	1421	465	120
Distributed Time Delay	3	traingd	mse	1.00E-006	logsig	63502.mat	70	0.8729	0.60077	471	38342	5583	313	34
Distributed Time Delay	5	traingd	mse	1.00E-006	logsig	63502.mat	70	0.90192	0.57015	447	39645	4311	337	3
Distributed Time Delay	29	traingd	mse	1.00E-006	logsig	63502.mat	70	0.90406	0.53699	421	39680	4211	363	68
Distributed Time Delay	3	traingd	mse	1.00E-006	tansig	63502.mat	70	0.86954	0.59821	469	38197	5731	315	31
Distributed Time Delay	5	traingd	mse	1.00E-006	tansig	63502.mat	70	0.89616	0.56888	446	39379	4563	338	17
Distributed Time Delay	29	traingd	mse	1.00E-006	tansig	63502.mat	70	0.90787	0.52679	413	39809	4040	371	110
Distributed Time Delay	3	trainrp	mse	1.00E-006	hardlim	63502.mat	70	0.016393	NaN	0	1	60	0	44682
Distributed Time Delay	5	trainrp	mse	1.00E-006	hardlim	63502.mat	70	1	0	0	43879	0	783	81
Distributed Time Delay	29	trainrp	mse	1.00E-006	hardlim	63502.mat	70	0.12568	1	3	23	160	0	44557
Distributed Time Delay	3	trainrp	mse	1.00E-006	purelin	63502.mat	70	0.95321	0.12483	90	40971	2011	631	1040
Distributed Time Delay	5	trainrp	mse	1.00E-006	purelin	63502.mat	70	0.9952	0.18704	101	40410	195	439	3598
Distributed Time Delay	29	trainrp	mse	1.00E-006	purelin	63502.mat	70	0.98043	0.25036	176	42382	846	527	812
Distributed Time Delay	3	trainrp	mse	1.00E-006	logsig	63502.mat	70	0.00036447	0.99343	756	16	43883	5	83
Distributed Time Delay	5	trainrp	mse	1.00E-006	logsig	63502.mat	70	0.99891	0.0051414	4	43864	48	774	53
Distributed Time Delay	29	trainrp	mse	1.00E-006	logsig	63502.mat	70	0.9845	0.099042	62	41672	656	564	1789
Distributed Time Delay	3	trainrp	mse	1.00E-006	tansig	63502.mat	70	0.97207	0.27967	205	42185	1212	528	613
Distributed Time Delay	5	trainrp	mse	1.00E-006	tansig	63502.mat	70	0.96049	0.3534	270	41842	1721	494	416
Distributed Time Delay	29	trainrp	mse	1.00E-006	tansig	63502.mat	70	0.95969	0.34404	257	41852	1758	490	386
Distributed Time Delay	3	trainscg	mse	1.00E-006	hardlim	63502.mat	70	0	1	784	0	43959	0	0
Distributed Time Delay	5	trainscg	mse	1.00E-006	hardlim	63502.mat	70	0.99936	0.002551	2	43913	28	782	18
Distributed Time Delay	29	trainscg	mse	1.00E-006	hardlim	63502.mat	70	0.9841	0.1199	94	43209	698	690	52
Distributed Time Delay	3	trainscg	mse	1.00E-006	purelin	63502.mat	70	0.96702	0.40903	317	42309	1443	458	216
Distributed Time Delay	5	trainscg	mse	1.00E-006	purelin	63502.mat	70	0.9665	0.38613	295	42291	1466	469	222
Distributed Time Delay	29	trainscg	mse	1.00E-006	purelin	63502.mat	70	0.97165	0.39446	299	42297	1234	459	454
Distributed Time Delay	3	trainscg	mse	1.00E-006	logsig	63502.mat	70	1	0	0	43959	0	784	0
Distributed Time Delay	5	trainscg	mse	1.00E-006	logsig	63502.mat	70	0.93703	0.44929	350	41088	2761	429	115
Distributed Time Delay	29	trainscg	mse	1.00E-006	logsig	63502.mat	70	0.95474	0.45839	358	41743	1979	423	240
Distributed Time Delay	3	trainscg	mse	1.00E-006	tansig	63502.mat	70	0.92735	0.40306	316	40760	3193	468	6
Distributed Time Delay	5	trainscg	mse	1.00E-006	tansig	63502.mat	70	0.91875	0.46341	361	40298	3564	418	102
Distributed Time Delay	29	trainscg	mse	1.00E-006	tansig	63502.mat	70	0.9445	0.48531	380	41407	2433	403	120
FF Input Time Delay	3	traingd	mse	1.00E-006	hardlim	63502.mat	70	0	1	784	0	43958	0	1
FF Input Time Delay	5	traingd	mse	1.00E-006	hardlim	63502.mat	70	0.000068281	1	784	3	43933	0	23
FF Input Time Delay	29	traingd	mse	1.00E-006	hardlim	63502.mat	70	0.99977	0	0	43927	10	784	22
FF Input Time Delay	3	traingd	mse	1.00E-006	purelin	63502.mat	70	0.97201	0.39063	300	42617	1227	468	131
FF Input Time Delay	5	traingd	mse	1.00E-006	purelin	63502.mat	70	0.96031	0.42228	326	42122	1741	446	108
FF Input Time Delay	29	traingd	mse	1.00E-006	purelin	63502.mat	70	0.96536	0.39586	306	42307	1518	467	145
FF Input Time Delay	3	traingd	mse	1.00E-006	logsig	63502.mat	70	0.85902	0.60332	473	37761	6197	311	1

Nas páginas seguintes apresentamos os testes posteriores realizados às redes que apresentaram melhores resultados nos testes iniciais, conforme o descrito na *Secção 3* deste documento.

## Single Classification

FF Input Time Delay	5	traingd	mse	1.00E-006	logsig	63502.mat	70	0.88683	0.58291	457	38976	4974	327	9
FF Input Time Delay	29	traingd	mse	1.00E-006	logsig	63502.mat	70	0.91237	0.5645	442	40035	3845	341	80
FF Input Time Delay	3	traingd	mse	1.00E-006	tansig	63502.mat	70	0.86323	0.59311	465	37902	6005	319	52
FF Input Time Delay	5	traingd	mse	1.00E-006	tansig	63502.mat	70	0.87174	0.59694	468	38292	5634	316	33
FF Input Time Delay	29	traingd	mse	1.00E-006	tansig	63502.mat	70	0.9024	0.58036	455	39554	4278	329	127
FF Input Time Delay	3	trainrp	mse	1.00E-006	hardlim	63502.mat	70	0	1	784	0	43933	0	26
FF Input Time Delay	5	trainrp	mse	1.00E-006	hardlim	63502.mat	70	1	0	0	43929	0	784	30
FF Input Time Delay	29	trainrp	mse	1.00E-006	hardlim	63502.mat	70	0.99986	0	0	43927	6	784	26
FF Input Time Delay	3	trainrp	mse	1.00E-006	purelin	63502.mat	70	0.96586	0.30218	236	42355	1497	545	110
FF Input Time Delay	5	trainrp	mse	1.00E-006	purelin	63502.mat	70	0.97616	0.24332	182	42551	1039	566	405
FF Input Time Delay	29	trainrp	mse	1.00E-006	purelin	63502.mat	70	0.96784	0.323	250	42465	1411	524	93
FF Input Time Delay	3	trainrp	mse	1.00E-006	logsig	63502.mat	70	0.99511	0.082251	57	42966	211	636	873
FF Input Time Delay	5	trainrp	mse	1.00E-006	logsig	63502.mat	70	0	NaN	0	0	1	0	44742
FF Input Time Delay	29	trainrp	mse	1.00E-006	logsig	63502.mat	70	0.94621	0.42292	310	39773	2261	423	1976
FF Input Time Delay	3	trainrp	mse	1.00E-006	tansig	63502.mat	70	0.071429	1	1	3	39	0	44700
FF Input Time Delay	5	trainrp	mse	1.00E-006	tansig	63502.mat	70	0.9597	0.28954	227	42149	1770	557	40
FF Input Time Delay	29	trainrp	mse	1.00E-006	tansig	63502.mat	70	0.0002276	1	784	10	43926	0	23
FF Input Time Delay	3	trainscg	mse	1.00E-006	hardlim	63502.mat	70	0.99993	0	0	43945	3	784	11
FF Input Time Delay	5	trainscg	mse	1.00E-006	hardlim	63502.mat	70	0.99998	0	0	43924	9	784	26
FF Input Time Delay	29	trainscg	mse	1.00E-006	hardlim	63502.mat	70	0.00013659	1	784	6	43920	0	33
FF Input Time Delay	3	trainscg	mse	1.00E-006	purelin	63502.mat	70	0.96827	0.37629	292	42478	1392	484	97
FF Input Time Delay	5	trainscg	mse	1.00E-006	purelin	63502.mat	70	0.96556	0.39487	308	42413	1513	472	37
FF Input Time Delay	29	trainscg	mse	1.00E-006	purelin	63502.mat	70	0.96449	0.40337	311	42339	1559	460	74
FF Input Time Delay	3	trainscg	mse	1.00E-006	logsig	63502.mat	70	0.92554	0.43878	344	40671	3272	440	16
FF Input Time Delay	5	trainscg	mse	1.00E-006	logsig	63502.mat	70	0.94457	0.42857	336	41457	2433	448	69
FF Input Time Delay	29	trainscg	mse	1.00E-006	logsig	63502.mat	70	0.94641	0.44955	352	41533	2352	431	75
FF Input Time Delay	3	trainscg	mse	1.00E-006	tansig	63502.mat	70	0.94955	0.42656	334	41730	2217	449	13
FF Input Time Delay	5	trainscg	mse	1.00E-006	tansig	63502.mat	70	0.94894	0.43423	340	41700	2244	443	16
FF Input Time Delay	29	trainscg	mse	1.00E-006	tansig	63502.mat	70	0.95065	0.46213	360	41628	2161	419	175

## Group Classification

Network	Number Neurons	Network	Training Function	Performance Function	Training Goal	Activation Function	Input	Percentage Crisis (0-100)	Specificity	Sensibility	True Positives	True Negatives	False Positives	False Negatives	Invalid Data
Radial Basis Network	3	-	-	-	0.01	-	44202.mat	30	0.97411	0.89052	911	245650	6528	112	0
Radial Basis Network	5	-	-	-	0.01	-	44202.mat	30	0.97209	0.8915	912	245140	7038	111	0
Radial Basis Network	29	-	-	-	0.01	-	44202.mat	30	0.94392	0.9609	963	238040	14141	40	0
FeedForward	3	traingd	mse	1.00E-006	-	-	44202.mat	30	0.9737	0.86804	888	245550	6632	135	0
FeedForward	5	traingd	mse	1.00E-006	-	-	44202.mat	30	0.978	0.86999	890	246630	5547	133	0
FeedForward	29	traingd	mse	1.00E-006	-	-	44202.mat	30	0.98626	0.85435	874	248720	3465	149	0
FeedForward	3	trainrp	mse	1.00E-006	-	-	44202.mat	30	0.99994	0.53177	544	252160	15	479	0
FeedForward	5	trainrp	mse	1.00E-006	-	-	44202.mat	30	1	0.39562	379	252180	0	579	65
FeedForward	29	trainrp	mse	1.00E-006	-	-	44202.mat	30	0.99999	0.53177	544	252180	3	479	0
FeedForward	3	trainscg	mse	1.00E-006	-	-	44202.mat	30	0.99967	0.69599	712	252100	84	311	0
FeedForward	5	trainscg	mse	1.00E-006	-	-	44202.mat	30	0.99956	0.74878	766	252070	112	257	0
FeedForward	29	trainscg	mse	1.00E-006	-	-	44202.mat	30	0.99967	0.74682	764	252100	82	259	0
Layer Recurrent Network	3	traingd	mse	1.00E-006	-	-	44202.mat	30	0.97523	0.8651	885	245930	6246	138	0
Layer Recurrent Network	5	traingd	mse	1.00E-006	-	-	44202.mat	30	0.96994	0.88172	902	244600	7580	121	0
Layer Recurrent Network	29	traingd	mse	1.00E-006	-	-	44202.mat	30	0.98512	0.86119	881	248430	3753	142	0
Layer Recurrent Network	3	trainrp	mse	1.00E-006	-	-	44202.mat	30	0.99999	0.3563	362	252180	3	654	7
Layer Recurrent Network	5	trainrp	mse	1.00E-006	-	-	44202.mat	30	0.99999	0.326	326	252180	2	674	23
Layer Recurrent Network	29	trainrp	mse	1.00E-006	-	-	44202.mat	30	0.99998	0.50783	519	252180	4	503	1
Layer Recurrent Network	3	trainscg	mse	1.00E-006	-	-	44202.mat	30	0.99966	0.71848	735	252090	87	288	0
Layer Recurrent Network	5	trainscg	mse	1.00E-006	-	-	44202.mat	30	0.9995	0.73998	757	252050	127	266	0
Layer Recurrent Network	29	trainscg	mse	1.00E-006	-	-	44202.mat	30	0.99932	0.75464	772	252010	172	251	0
Distributed Time Delay	3	traingd	mse	1.00E-006	hardlim	-	44202.mat	30	0	1	1023	0	252180	0	0
Distributed Time Delay	5	traingd	mse	1.00E-006	hardlim	-	44202.mat	30	1	0.2844	31	83	0	78	253010
Distributed Time Delay	29	traingd	mse	1.00E-006	hardlim	-	44202.mat	30	0.99159	0.68426	700	250060	2122	323	0
Distributed Time Delay	3	traingd	mse	1.00E-006	purelin	-	44202.mat	30	0.99911	0.68915	705	251960	224	318	0
Distributed Time Delay	5	traingd	mse	1.00E-006	purelin	-	44202.mat	30	0.99987	0.60508	619	252150	34	404	0
Distributed Time Delay	29	traingd	mse	1.00E-006	purelin	-	44202.mat	30	0.99929	0.68035	696	252000	179	327	0
Distributed Time Delay	3	traingd	mse	1.00E-006	logsig	-	44202.mat	30	0.96892	0.8739	894	244340	7837	129	0
Distributed Time Delay	5	traingd	mse	1.00E-006	logsig	-	44202.mat	30	0.9748	0.87195	892	245820	6356	131	0
Distributed Time Delay	29	traingd	mse	1.00E-006	logsig	-	44202.mat	30	0.98317	0.86315	883	247940	4244	140	0
Distributed Time Delay	3	traingd	mse	1.00E-006	tansig	-	44202.mat	30	0.97898	0.86999	890	246880	5302	133	0
Distributed Time Delay	5	traingd	mse	1.00E-006	tansig	-	44202.mat	30	0.97733	0.87195	892	246460	5716	131	0
Distributed Time Delay	29	traingd	mse	1.00E-006	tansig	-	44202.mat	30	0.97954	0.86901	889	247020	5160	134	0
Distributed Time Delay	3	trainrp	mse	1.00E-006	hardlim	-	44202.mat	30	1	0	0	80	0	10	253110
Distributed Time Delay	5	trainrp	mse	1.00E-006	hardlim	-	44202.mat	30	NaN	0	0	0	0	75	253130
Distributed Time Delay	29	trainrp	mse	1.00E-006	hardlim	-	44202.mat	30	0.99984	0.33822	323	252140	40	632	68
Distributed Time Delay	3	trainrp	mse	1.00E-006	purelin	-	44202.mat	30	1	0.34874	347	252180	0	648	28
Distributed Time Delay	5	trainrp	mse	1.00E-006	purelin	-	44202.mat	30	0.9999	0.51711	529	252160	24	494	0
Distributed Time Delay	29	trainrp	mse	1.00E-006	purelin	-	44202.mat	30	0.99999	0.46523	475	252180	3	546	2
Distributed Time Delay	3	trainrp	mse	1.00E-006	logsig	-	44202.mat	30	1	0.24885	217	52080	0	655	200250
Distributed Time Delay	5	trainrp	mse	1.00E-006	logsig	-	44202.mat	30	0.99996	0.5523	565	252170	9	458	0
Distributed Time Delay	29	trainrp	mse	1.00E-006	logsig	-	44202.mat	30	1	0.26816	144	579	0	393	252090
Distributed Time Delay	3	trainrp	mse	1.00E-006	tansig	-	44202.mat	30	0.99985	0.59629	610	252140	37	413	0
Distributed Time Delay	5	trainrp	mse	1.00E-006	tansig	-	44202.mat	30	0.99999	0.41195	386	252180	3	551	86
Distributed Time Delay	29	trainrp	mse	1.00E-006	tansig	-	44202.mat	30	0.99999	0.53666	549	252180	3	474	0
Distributed Time Delay	3	trainscg	mse	1.00E-006	hardlim	-	44202.mat	30	1	0.53177	544	252180	1	479	0
Distributed Time Delay	5	trainscg	mse	1.00E-006	hardlim	-	44202.mat	30	0.99997	0.22287	228	252170	8	795	0
Distributed Time Delay	29	trainscg	mse	1.00E-006	hardlim	-	44202.mat	30	0.76345	0.81623	835	192530	59653	188	0
Distributed Time Delay	3	trainscg	mse	1.00E-006	purelin	-	44202.mat	30	0.99956	0.62757	642	252070	111	381	0
Distributed Time Delay	5	trainscg	mse	1.00E-006	purelin	-	44202.mat	30	0.99953	0.62366	638	252060	118	385	0
Distributed Time Delay	29	trainscg	mse	1.00E-006	purelin	-	44202.mat	30	0.99949	0.64125	656	252050	128	367	0
Distributed Time Delay	3	trainscg	mse	1.00E-006	logsig	-	44202.mat	30	0.99979	0.73998	757	252130	54	266	0

Group Classification

Distributed Time Delay	5	trainscg	mse	1.00E-006	logsig	44202.mat	30	0.99972	0.74291	760	252110	70	263	0
Distributed Time Delay	29	trainscg	mse	1.00E-006	logsig	44202.mat	30	0.99967	0.76051	778	252100	82	245	0
Distributed Time Delay	3	trainscg	mse	1.00E-006	tansig	44202.mat	30	0.99966	0.6999	716	252090	86	307	0
Distributed Time Delay	5	trainscg	mse	1.00E-006	tansig	44202.mat	30	0.99949	0.76735	765	252050	128	238	0
Distributed Time Delay	29	trainscg	mse	1.00E-006	tansig	44202.mat	30	0.99962	0.74291	760	252080	95	263	0
FF Input Time Delay	3	traingd	mse	1.00E-006	hardlim	44202.mat	30	0	1	1023	0	252180	0	0
FF Input Time Delay	5	traingd	mse	1.00E-006	hardlim	44202.mat	30	0	1	1023	0	252180	0	0
FF Input Time Delay	29	traingd	mse	1.00E-006	hardlim	44202.mat	30	0	1	1023	0	252180	0	0
FF Input Time Delay	3	traingd	mse	1.00E-006	purelin	44202.mat	30	0.99902	0.70968	726	251930	246	297	0
FF Input Time Delay	5	traingd	mse	1.00E-006	purelin	44202.mat	30	0.99905	0.70381	720	251940	239	303	0
FF Input Time Delay	29	traingd	mse	1.00E-006	purelin	44202.mat	30	0.99903	0.7087	725	251940	244	298	0
FF Input Time Delay	3	traingd	mse	1.00E-006	logsig	44202.mat	30	0.96705	0.87292	893	243870	8309	130	0
FF Input Time Delay	5	traingd	mse	1.00E-006	logsig	44202.mat	30	0.97516	0.87097	891	245920	6264	132	0
FF Input Time Delay	29	traingd	mse	1.00E-006	logsig	44202.mat	30	0.9889	0.85044	870	249380	2799	153	0
FF Input Time Delay	3	traingd	mse	1.00E-006	tansig	44202.mat	30	0.97928	0.86999	890	246960	5225	133	0
FF Input Time Delay	5	traingd	mse	1.00E-006	tansig	44202.mat	30	0.97126	0.87195	892	244930	7248	131	0
FF Input Time Delay	29	traingd	mse	1.00E-006	tansig	44202.mat	30	0.973	0.87781	898	245370	6810	125	0
FF Input Time Delay	3	trainrp	mse	1.00E-006	hardlim	44202.mat	30	0	1	1023	0	252180	0	0
FF Input Time Delay	5	trainrp	mse	1.00E-006	hardlim	44202.mat	30	1	0	0	252180	0	1023	0
FF Input Time Delay	29	trainrp	mse	1.00E-006	hardlim	44202.mat	30	1	NaN	0	10	0	0	253190
FF Input Time Delay	3	trainrp	mse	1.00E-006	purelin	44202.mat	30	0.99996	0.57771	591	252170	9	432	0
FF Input Time Delay	5	trainrp	mse	1.00E-006	purelin	44202.mat	30	0.99996	0.58749	601	252170	10	422	0
FF Input Time Delay	29	trainrp	mse	1.00E-006	purelin	44202.mat	30	0.99994	0.60411	618	252160	15	405	0
FF Input Time Delay	3	trainrp	mse	1.00E-006	logsig	44202.mat	30	0	0.99511	1018	0	252180	5	0
FF Input Time Delay	5	trainrp	mse	1.00E-006	logsig	44202.mat	30	0.99999	0.44184	452	252180	3	571	0
FF Input Time Delay	29	trainrp	mse	1.00E-006	logsig	44202.mat	30	0.98945	0.95376	825	8348	89	40	243900
FF Input Time Delay	3	trainrp	mse	1.00E-006	tansig	44202.mat	30	0	1	1023	0	252180	0	0
FF Input Time Delay	5	trainrp	mse	1.00E-006	tansig	44202.mat	30	0.99994	0.57869	592	252170	14	431	0
FF Input Time Delay	29	trainrp	mse	1.00E-006	tansig	44202.mat	30	0.99998	0.56696	580	252170	6	443	0
FF Input Time Delay	3	trainscg	mse	1.00E-006	hardlim	44202.mat	30	0	1	1023	0	252180	0	0
FF Input Time Delay	5	trainscg	mse	1.00E-006	hardlim	44202.mat	30	1	0	0	252180	0	1023	0
FF Input Time Delay	29	trainscg	mse	1.00E-006	hardlim	44202.mat	30	0	1	1023	0	252180	0	0
FF Input Time Delay	3	trainscg	mse	1.00E-006	purelin	44202.mat	30	0.99933	0.65787	673	252010	168	350	0
FF Input Time Delay	5	trainscg	mse	1.00E-006	purelin	44202.mat	30	0.99954	0.62268	637	252060	116	386	0
FF Input Time Delay	29	trainscg	mse	1.00E-006	purelin	44202.mat	30	0.99953	0.62757	642	252060	119	381	0
FF Input Time Delay	3	trainscg	mse	1.00E-006	logsig	44202.mat	30	0.99952	0.73216	749	252060	121	274	0
FF Input Time Delay	5	trainscg	mse	1.00E-006	logsig	44202.mat	30	0.99959	0.71652	733	252080	103	290	0
FF Input Time Delay	29	trainscg	mse	1.00E-006	logsig	44202.mat	30	0.99964	0.74878	766	252090	90	257	0
FF Input Time Delay	3	trainscg	mse	1.00E-006	tansig	44202.mat	30	0.99943	0.7087	725	252040	143	298	0
FF Input Time Delay	5	trainscg	mse	1.00E-006	tansig	44202.mat	30	0.99986	0.7263	743	252140	35	280	0
FF Input Time Delay	29	trainscg	mse	1.00E-006	tansig	44202.mat	30	0.99956	0.72532	742	252070	111	281	0
Radial Basis Network	3	-	-	0.01	-	44202.mat	50	0.90901	0.88706	1398	493220	49368	178	0
Radial Basis Network	5	-	-	0.01	-	44202.mat	50	0.90436	0.89404	1409	490690	51892	167	0
Radial Basis Network	29	-	-	0.01	-	44202.mat	50	0.86006	0.95241	1501	466660	75928	75	0
FeedForward	3	traingd	mse	1.00E-006	-	44202.mat	50	0.81088	0.82107	1294	439970	102610	282	0
FeedForward	5	traingd	mse	1.00E-006	-	44202.mat	50	0.77018	0.80584	1270	417890	124700	306	0
FeedForward	29	traingd	mse	1.00E-006	-	44202.mat	50	0.90438	0.81155	1279	490700	51883	297	0
FeedForward	3	trainrp	mse	1.00E-006	-	44202.mat	50	0.99894	0.20362	304	540910	573	1189	1186
FeedForward	5	trainrp	mse	1.00E-006	-	44202.mat	50	0.99974	0.41496	649	542440	143	915	16
FeedForward	29	trainrp	mse	1.00E-006	-	44202.mat	50	0.99753	0.61104	963	541240	1341	613	0
FeedForward	3	trainscg	mse	1.00E-006	-	44202.mat	50	0.98077	0.76586	1207	532150	10432	369	0
FeedForward	5	trainscg	mse	1.00E-006	-	44202.mat	50	0.97789	0.7665	1208	530590	11994	368	0
FeedForward	29	trainscg	mse	1.00E-006	-	44202.mat	50	0.96824	0.74175	1169	525350	17234	407	0



Group Classification

Layer Recurrent Network	3	traingd	mse	1.00E-006	-	44202.mat	50	0.87671	0.81662	1287	475690	66893	289	0
Layer Recurrent Network	5	traingd	mse	1.00E-006	-	44202.mat	50	0.7556	0.79759	1257	409980	132610	319	0
Layer Recurrent Network	29	traingd	mse	1.00E-006	-	44202.mat	50	0.9073	0.76904	1212	492290	50297	364	0
Layer Recurrent Network	3	trainrp	mse	1.00E-006	-	44202.mat	50	0.99977	0.45114	711	542460	126	865	0
Layer Recurrent Network	5	trainrp	mse	1.00E-006	-	44202.mat	50	0.9977	0.30212	442	541320	1246	1021	136
Layer Recurrent Network	29	trainrp	mse	1.00E-006	-	44202.mat	50	0.99873	0.61168	964	541890	691	612	0
Layer Recurrent Network	3	trainscg	mse	1.00E-006	-	44202.mat	50	0.9534	0.80203	1264	517300	25286	312	0
Layer Recurrent Network	5	trainscg	mse	1.00E-006	-	44202.mat	50	0.97968	0.77094	1215	531560	11026	361	0
Layer Recurrent Network	29	trainscg	mse	1.00E-006	-	44202.mat	50	0.97105	0.78807	1242	526880	15709	334	0
Distributed Time Delay	3	traingd	mse	1.00E-006	hardlim	44202.mat	50	0.99867	0.3217	507	541860	723	1069	0
Distributed Time Delay	5	traingd	mse	1.00E-006	hardlim	44202.mat	50	0.99986	0.5368	846	542510	77	730	0
Distributed Time Delay	29	traingd	mse	1.00E-006	hardlim	44202.mat	50	0.99907	0.45178	712	542080	504	864	0
Distributed Time Delay	3	traingd	mse	1.00E-006	purelin	44202.mat	50	0.99767	0.64657	1019	541320	1263	557	0
Distributed Time Delay	5	traingd	mse	1.00E-006	purelin	44202.mat	50	0.99893	0.6453	1017	542000	580	559	0
Distributed Time Delay	29	traingd	mse	1.00E-006	purelin	44202.mat	50	0.99826	0.66434	1047	541640	945	529	0
Distributed Time Delay	3	traingd	mse	1.00E-006	logsig	44202.mat	50	0.70903	0.81536	1285	384710	157880	291	0
Distributed Time Delay	5	traingd	mse	1.00E-006	logsig	44202.mat	50	0.80202	0.81916	1291	435160	107420	285	0
Distributed Time Delay	29	traingd	mse	1.00E-006	logsig	44202.mat	50	0.91044	0.81028	1277	493990	48594	299	0
Distributed Time Delay	3	traingd	mse	1.00E-006	tansig	44202.mat	50	0.7461	0.8217	1295	404820	137760	281	0
Distributed Time Delay	5	traingd	mse	1.00E-006	tansig	44202.mat	50	0.87595	0.8217	1295	475280	67308	281	0
Distributed Time Delay	29	traingd	mse	1.00E-006	tansig	44202.mat	50	0.89597	0.81472	1284	486140	56445	292	0
Distributed Time Delay	3	trainrp	mse	1.00E-006	hardlim	44202.mat	50	0	0.99429	1567	0	542580	9	0
Distributed Time Delay	5	trainrp	mse	1.00E-006	hardlim	44202.mat	50	1	0	0	542580	0	1413	163
Distributed Time Delay	29	trainrp	mse	1.00E-006	hardlim	44202.mat	50	0.99999	0.30774	485	542580	4	1091	1
Distributed Time Delay	3	trainrp	mse	1.00E-006	purelin	44202.mat	50	0.99988	0.55556	875	542520	64	700	1
Distributed Time Delay	5	trainrp	mse	1.00E-006	purelin	44202.mat	50	0.99992	0.35832	545	542540	45	976	55
Distributed Time Delay	29	trainrp	mse	1.00E-006	purelin	44202.mat	50	0.99932	0.48089	755	542220	368	815	6
Distributed Time Delay	3	trainrp	mse	1.00E-006	logsig	44202.mat	50	0.001268	0.81916	1291	688	541900	285	0
Distributed Time Delay	5	trainrp	mse	1.00E-006	logsig	44202.mat	50	0.99996	0.20171	307	542560	24	1215	54
Distributed Time Delay	29	trainrp	mse	1.00E-006	logsig	44202.mat	50	0.99871	0.46928	718	541890	698	812	46
Distributed Time Delay	3	trainrp	mse	1.00E-006	tansig	44202.mat	50	0.000033185	0.97843	1542	18	542390	34	175
Distributed Time Delay	5	trainrp	mse	1.00E-006	tansig	44202.mat	50	1	0.0117	15	542390	0	1267	485
Distributed Time Delay	29	trainrp	mse	1.00E-006	tansig	44202.mat	50	0.99744	0.61992	977	541200	1387	599	0
Distributed Time Delay	3	trainscg	mse	1.00E-006	hardlim	44202.mat	50	0.99999	0.019036	30	542580	6	1546	0
Distributed Time Delay	5	trainscg	mse	1.00E-006	hardlim	44202.mat	50	0.99999	0.043782	69	542580	6	1507	0
Distributed Time Delay	29	trainscg	mse	1.00E-006	hardlim	44202.mat	50	0.99953	0.54188	854	542330	257	722	0
Distributed Time Delay	3	trainscg	mse	1.00E-006	purelin	44202.mat	50	0.99844	0.64848	1022	541740	848	554	0
Distributed Time Delay	5	trainscg	mse	1.00E-006	purelin	44202.mat	50	0.99827	0.65102	1026	541650	936	550	0
Distributed Time Delay	29	trainscg	mse	1.00E-006	purelin	44202.mat	50	0.99895	0.62246	981	542010	170	595	0
Distributed Time Delay	3	trainscg	mse	1.00E-006	logsig	44202.mat	50	0.97563	0.77475	1221	529360	13225	355	0
Distributed Time Delay	5	trainscg	mse	1.00E-006	logsig	44202.mat	50	0.97258	0.79188	1248	527710	14877	328	0
Distributed Time Delay	29	trainscg	mse	1.00E-006	logsig	44202.mat	50	0.96756	0.79188	1248	524980	17603	328	0
Distributed Time Delay	3	trainscg	mse	1.00E-006	tansig	44202.mat	50	0.97291	0.78997	1245	527890	14699	331	0
Distributed Time Delay	5	trainscg	mse	1.00E-006	tansig	44202.mat	50	0.97356	0.77919	1228	528240	14346	348	0
Distributed Time Delay	29	trainscg	mse	1.00E-006	tansig	44202.mat	50	0.96504	0.79695	1256	523610	18971	320	0
FF Input Time Delay	3	traingd	mse	1.00E-006	hardlim	44202.mat	50	1	0	0	542580	0	1576	0
FF Input Time Delay	5	traingd	mse	1.00E-006	hardlim	44202.mat	50	0	1	1576	0	542580	0	0
FF Input Time Delay	29	traingd	mse	1.00E-006	hardlim	44202.mat	50	0	1	1576	0	542580	0	0
FF Input Time Delay	3	traingd	mse	1.00E-006	purelin	44202.mat	50	0.99855	0.66244	1044	541800	788	532	0
FF Input Time Delay	5	traingd	mse	1.00E-006	purelin	44202.mat	50	0.99834	0.66371	1046	541680	902	530	0
FF Input Time Delay	29	traingd	mse	1.00E-006	purelin	44202.mat	50	0.99797	0.6618	1043	541480	1103	533	0
FF Input Time Delay	3	traingd	mse	1.00E-006	logsig	44202.mat	50	0.81342	0.84264	1328	441350	101240	248	0
FF Input Time Delay	5	traingd	mse	1.00E-006	logsig	44202.mat	50	0.7139	0.81653	1290	387350	155230	286	0